

Documentation preserved at the Institute of Geophysics, Polish Academy of Sciences - Department of Seismology (Warszawa), reproduced on 2005 by SGA Storia Geofisica Ambiente (Bologna) on behalf of the Istituto Nazionale di Geofisica e Vulcanologia (Rome), in the frame of the EUROSEISMOS project.
These data are considered public domain and may be freely distributed or copied for non-profit purposes provided the project is properly quoted.



P O L S K A A K A D E M I A N A U K
Z A K Ł A D G E O F I Z Y K I

BIULETYN
ŚLĄSKIEJ STACJI GEOFIZYCZNEJ
W RACIBORZU

Nr 4

ROK 1951

WARSZAWA 1959
PAŃSTWOWE WYDawnictwo NAUKOWE

БЮЛЛЕТЕНЬ
СИЛЕЗСКОЙ ГЕОФИЗИЧЕСКОЙ СТАЦИИ
Racibórz
№ 4
1951 ГОД

BULLETIN
OF THE SILESIAN GEOPHYSICAL STATION
Racibórz
No 4
YEAR 1951

Redaktor Naczelný
TADEUSZ OLCZAK

Komitet Redakcyjny
Romuald Wieladek (zastępca redaktora),
Irena Bóbry-Modrakowa,

Zofia Gryglewicz, Leopold Jurkiewicz, Zdzisław Małkowski, Roman Teisseyre, Józef Wysocki (czonkowie Komitetu), Waclaw Kowalski (sekretarz techniczny)

Adres Redakcji
Zakład Geofizyki Polskiej Akademii Nauk
Warszawa, ul. Nowy Świat 72
Palac Staszica

PAŃSTWOWE WYDAWNICTWO NAUKOWE — WARSZAWA 1959
Red. techn. Zofia Cukrowska

Wydanie I. Nakład 500 + 150 egz. Ark. wyd. 8,75. Ark. druk. 6,25 + wkładka. Pap. druk. sat. kl. V, 70 g, 70×100/16. Oddano do składu 23.II.59. Podpisano do druku 21.X.59. Druk ukończono w listopadzie 1959
Zam. nr 328/59. W-88 Cena zł 27.—

Drukarnia im. Rewolucji Październikowej — Warszawa

		ERRATA	
Str.	tabelka jest	VI	powinno być VI
		1.25° (16.6)	(16.5) (16.6)

Str.	Nr	Data	Faza	Godzina T. U.	Okres T	Amplituda			Uwagi
						A _N	A _E	A _Z	
15	13	16. I	eP _z *	14 02					
17	26	29. I	e _z	20 00					
18	32	3. II							h = 100 km; na N i E silne mikro- sejmy
19	40	12. II	e _{NEZ}	17 52 44					
			M _E	18 01	13	15			
			M _N	02	13	25.7			
25	64	14. III							Nadrenia Δ = 7°3; BCIS:
31	104	1. V	ePKP _{1z}	05 22 24					
32	108	10. V							
37	132	7. VI							H = 09 ^h 18 ^m 36 ^s Austria
45	186	26. VII	epP _z	12 10					
48	211	13. VIII	eP _E	18 36 44	5	+			
			eP _N	45	5	—			
56	257	24. IX							Kuryle, Δ = 74°; e _N 09 ^h 39 ^m 51 ^s .4;
60	280	21. X	M _E	22 34.2	16	96			
68	316	31. X							
69	320	2. XI							Kaukaz, Δ = 21°7: Alpy, Δ = 10°2
75	348	15. XI	eP _z	45					
			epP _z	54					
77	354	16. XI	ePcP _z	15 32 28					
79	358	19. XI	eL _N	09 58					
	i								
	359		M _z	10 11	20	1082			
81	370	30. XI							

Documentation preserved at the Institute of Geophysics, Polish Academy of Sciences - Department of Seismology (Warszawa), reproduced on 2005 by SGA Storia Geofisica Ambiente (Bologna) on behalf of the Istituto Nazionale di Geofisica e Vulcanologia (Rome), in the frame of the EUROSEISMOS project.
These data are considered public domain and may be freely distributed or copied for non-profit purposes provided the project is properly quoted.

SPIS RZECZY

	str.
Przedmowa	5
Tadeusz Oleczak i Bożena Wojtczak. Śląska Stacja Geofizyczna w Raciborzu w 1951 r.	7
Biuletyn sejsmiczny Śląskiej Stacji Geofizycznej w Raciborzu. Rok 1951	11
Bożena Wojtczak. Przegląd większych trzęsień ziemi zarejestrowanych przez Śląską Stację Geofizyczną w Raciborzu w 1951 r.	89

PRZEDMOWA

Niniejszy, czwarty z kolei, roczny *Biuletyn Śląskiej Stacji Geofizycznej w Raciborzu*, zawierający dane o trzęsieniach ziemi zarejestrowanych przez sejsmografy raciborskie w 1951 r., opracowany został w Zakładzie Geofizyki PAN przez pracowników naukowych tego Zakładu: dr J. P a g a c z e w s k i e g o (styczeń — czerwiec 1951 r.) i mgr B. W o j t c z a k (lipiec — grudzień 1951 r.). Metoda opracowania biuletynu, uzgodniona między autorami, pozostawała w zasadzie taką samą, jaką wprowadziłem przy opracowaniu pierwszych publikacji stacji raciborskiej.

Wszystkie ogłoszone w niniejszym biuletynie momenty, jak zwykle, wyrażone są w czasie uniwersalnym (T.U.), a symbole faz, bliżej omówione i objaśnione w przedmowie do rocznika 1949, również pozostały niezmienione. Nowością jest wprowadzenie podawania przy niektórych dalekich trzęsieniach ziemi ich wielkości logarytmicznych (magnitud) obliczonych na podstawie zapisów przyrządów raciborskich przy pomocy wzoru, jaki dla Raciborza opracowali mgr Z. D r o s t e i mgr S. G i b o w i e z. Odnośna publikacja tych autorów ogłoszona została w „Acta Geophysica Polonica”, Vol. VI, nr 3, pp. 223-242, 1958.

Dalsza wprowadzona nowość — to, podane w kolumnie „Uwagi”, niektóre orientacyjne fazy, przeważnie wstępne, górniczych wstrząsów śląskich według zapisów na Stacjach Głównego Instytutu Górnictwa (Zabrze, Bytom), otrzymane dzięki uprzejmości tej instytucji, za co na tym miejscu wyrażamy podziękowanie.

Tadeusz Olczak

* Dotąd ukazały się w druku następujące Biuletyny Śląskiej Stacji Geofizycznej w Raciborzu: *Biuletyn 1. Rok 1948*, PIG, Warszawa 1950; *Biuletyn 2. Rok 1949*, PIG, Warszawa 1953, *Biuletyn 3. Rok 1950*, ZG PAN, Warszawa 1956.

Documentation preserved at the Institute of Geophysics, Polish Academy of Sciences - Department of Seismology (Warszawa), reproduced on 2005 by SGA Storia Geofisica Ambiente (Bologna) on behalf of the Istituto Nazionale di Geofisica e Vulcanologia (Rome), in the frame of the EUROSEISMOS project.

These data are considered public domain and may be freely distributed or copied for non-profit purposes provided the project is properly quoted.

Tadeusz OLCZAK i Bożena WOJTCZAK

Zakład Geofizyki PAN, Warszawa

ŚLĄSKA STACJA GEOFIZYCZNA W RACIBORZU W 1951 ROKU

S t r e s z c z e n i e

Przedstawiono szereg informacji dotyczących funkcjonowania przyrządów sejsmologicznych Śląskiej Stacji Geofizycznej w Raciborzu w 1951 r., omówiono ważniejsze wyniki identyfikacji otrzymanych zapisów, w szczególności w zakresie wstrząsów bliskich oraz podano statystykę zapisów. Podano również kilka informacji o nowo założonych przez Główny Instytut Górnictwa stacjach sejsmologicznych w Zabrzu i Bytomiu.

W wyposażeniu instrumentalnym i codziennej służbie sejsmologicznej Śląskiej Stacji Geofizycznej w Raciborzu nie zaszły w 1951 roku żadne istotnie zmiany. Głównymi instrumentami czynnymi w tym okresie pozostały w dalszym ciągu trzy sejsmografy N, E, Z typu Mainki z rejestracją mechaniczną. Stałe tych przyrządów wyznaczone były w tym czasie raz, mianowicie dn. 13.IX.1951 r. przy udziale mgr J. Paszyńskiego z Wydziału Geofizyki Stosowanej PIG, a otrzymane wyniki niewiele były różne od przyjętych dla 1950 r. Stałe te posiadają następujące wartości:

Stałe instrumentalne	N	E	Z
M (kg)	1050	1050	750
T ₀ (sek)	5.53	5.89	2.1
γ : 1	1.41	1.37	1.1
V ₀	170	170	100

W obliczeniach jednak posługiwano się wartościami podanymi w *Biuletynie 3 Śląskiej Stacji Geofizycznej w Raciborzu. Rok 1950*, różniącymi się niewiele od powyższych.

Prócz wymienionych sejsmografów czynna była w 1951 r. w dalszym ciągu rejestracja drgań „płyty doświadczalnej”, działającej jako sejsmograf krótkookresowy Z_k. Jej okres własny był 0,694 sek.

Służba czasu przebiegała w 1951 r. w taki sam sposób jak w latach ubiegłych. Rytmiczne sygnały czasu odbierane były słuchowo 2–3 razy dziennie na główny zegar Stacji, umieszczony w piwnicy sejsmologicznej. Na ogół zapewniało to dość dokładne śledzenie zmian chodu zegara; niestety ani jakość zegara, ani warunki jego pracy (duża wilgotność w piwnicy) nie sprzyjały stałości chodu, który od czasu do czasu zmieniał się pokaźnie i dość nagle. Wysilki uregulowania zegara tak, aby zachowywał on stałość chodu przez czas dłuższy – nie udawały się. I tak np. w dniach 11–12.I., 9–13.V., 28.IX., 11.X., 29.X., 16–17.XII. miały miejsce duże zmiany chodu, połączone ze zmianą jego znaku. W dniach tych nie wystąpiły jednak większe trzęsienia ziemi. Jakkolwiek więc dokładność momentów faz ogłoszonych w niniejszym buletynie, a opartych o liniową interpolację stanów zegara, podobnie jak w latach ubiegłych, szacujemy na ± 1 sek., to wpływ błędu poprawki zegara jest prawdopodobnie w większości przypadków o rząd niższy, nie przekraczając 0.1–0.2 sek.

Podobnie jak w latach ubiegłych do momentów faz odczytywanych na sejsmogramach nie wprowadzono poprawek na paralaksę czasową, a to z powodu jej nieznacznej wartości.

Warunki termiczne w piwnicy sejsmologicznej ilustruje poniższa tabelka zawierająca średnie temperatury miesięczne wewnętrz piwnicy. Dla porównania podane są w nawiasach miesięczne temperatury zewnętrzne.

I	II	III	IV	V	VI
12.5° (-0.0)	13.0° (2.1)	13.1° (2.3)	13.4° (8.8)	14.2° (12.3)	1.25° (16.6)

VII	VIII	IX	X	XI	XII
16.7° (17.9)	18.0° (19.6)	16.9° (15.4)	12.5° (7.1)	14.3° (7.3)	13.6° (2.3)

Średnia temperatura roczna w piwnicy równa była 14.6° (9.3°) wobec 15.5° (8.5°) w 1950 r., 14.4° (9.1°) w 1949 r. i 14.3° (9.0°) w 1948 r. Najchłodniej w piwnicy było w styczniu, najcieplej w lipcu. Maksymalna różnica między średnimi miesięcznymi wynosiła 5.5°.

Podobnie jak w latach ubiegłych, Śląska Stacja Geofizyczna w Raciborzu w 1951 r. podlegała Państwowemu Instytutowi Geologicznemu w Warszawie poprzez Wydział Geofizyki Stosowanej tego Instytutu. Personel obsługujący stację sejsmologiczną stanowili na miejscu w Raciborzu ob. R. Otlak i ob. R. Szwedzky, pełniący obowiązki techników-obserwatorów. Warsztatem mechanicznym, przeniesionym w 1951 r. do nowo zbudowanego pomieszczenia, kierował mechanik ob. J. Baron. W 1950 r. i w pierwszych

miesiącach 1951 r. przeprowadził on odbudowę i uruchomienie dawnych stacji sejsmologicznych Mainki w Zabrzu i Bytomiu.

W pierwszej z tych stacji zniszczenia wojenne objęły w przyrządach tylko delikatniejsze ich części (ocalał natomiast zegar), które należało wykonać na nowo, w drugiej – zniszczenia były większe. Reaktywaniem obu stacji zajął się Główny Instytut Górnictwa, decydując użyć w Bytomiu w miejscu części zniszczonych odpowiednie części z dwóch poziomych sejsmografów Mainki, które działały przed wojną na poziomie 540 m w kop. „Rozbark” i zachowały się w dobrym stanie, jak również zegar kontaktowy (statywów zawieszenia i masy sejsmografów w Rozbarku użyte zostały następnie przy budowie stacji GIG w Dąbrowie Górniczej). Mechanik ob. J. Baron przeprowadził na zlecenie Głównego Instytutu Górnictwa prace wyżej wymienione w oparciu o warsztat stacji raciborskiej.

Pierwszy próbny zapis uzyskano w Zabrzu w dn. 2.II.1950 r., pierwszy zapis w Bytomiu w dn. 4.IV.1951 r. Sejsmografy zabrzańskie zaraz w pierwszym dniu działania zapisyły wstrząs górnośląski, opisany następnie szczegółowo przez prof. E. W. Janczewskiego (Arch. Górn. i Hutn., v.3, p. 212, 1955). Współrzędne obu nowo uruchomionych Stacji są następujące:

Zabrze, ul. Wolności 235 $\varphi = 50^\circ 18.2'N$ $\lambda = 18^\circ 47.7'E$ h = 258 m
Bytom, ul. Parkowa 2 $\varphi = 50^\circ 21.0'N$ $\lambda = 18^\circ 54.9'E$ h = 283 m

Zapisy sejsmografów raciborskich były opracowane bieżąco w postaci „Tymczasowego wykazu wstrząsów” przez obu techników-obserwatorów Stacji podobnie jak w latach ubiegłych. W 1951 r. „Tymczasowy wykaz” obejmował następujące ilości notowań, włączając ślady:

I	II	III	IV	V	VI	VII	VIII	IX	X	XI	XII	Razem
29	22	26	33	28	35	43	47	28	52	49	34	426

Z ogólnej ilości 426 wstrząsów zanotowanych w Raciborzu w 1951 r. ogłoszono w niniejszym buletynie 405. Reszta, to bardzo słabe ślady wątpliwej rzeczywistości, zapisy niesejsmicznego pochodzenia lub słabe ślady tego samego trzęsienia, potraktowane w „Tymczasowym wykazie” jako dwa wstrząsy niezależne. Tak więc w niniejszym buletynie znalazły się ostatecznie następujące ilości wstrząsów:

I	II	III	IV	V	VI	VII	VIII	IX	X	XI	XII	Razem
27	22	23	31	25	24	39	45	24	58	53	34	405

W liczbach tych mieszczą się zapisy śladowe w 253 przypadkach, którym autorzy niniejszego buletynu rocznego dr P. Gaczkowski i mgr W. Wojtczak poświęcili mniej uwagi. Miesięczne ilości śladów były następujące:

I	II	III	IV	V	VI	VII	VIII	IX	X	XI	XII	Razem
16	10	18	20	16	24	28	29	23	23	22	24	253

W identyfikowaniu epicentrów autorzy biuletynu rocznego korzystali z materiałów opublikowanych przez Bureau Central International de Séismologie, Strasbourg (BCIS); US Coast and Geodetic Survey, Washington (USCGS); Bureau Central Séismologique Francais (BCSF) oraz ČS Statni Ústav Geofyzický, Praha. Przy pomocy tych źródeł zidentyfikowali oni położenia epicentrów dla 276 zapisów wstrząsów odległych i średnio odległych; nadto przy pomocy materiałów przedstawionych przez inż. Z. Łokaj, a uzyskanych przez nią dzięki uprzejmości G.I.G., można było podać szereg danych o 19 wstrząsach górnośląskich. Razem zatem biuletyn raciborski za 1951 r. przynosi informacje o 295 epicentrach, co stanowi 73% ogólnej liczby ogłoszonych w nim zapisów (67% w 1950 r. i 73% w 1949 r.). W pozostałych 110 zapisach niezidentyfikowanych mieści się pewna ilość wstrząsów przypuszczalnie nieodległych (razem 23), których interpretacja jest utrudniona ze względu na brak danych z innych stacji tak krajowych, jak i zagranicznych, nade wszystko zaś ze względu na śladowy charakter zapisów.

Poniżej podajemy tymczasowe zestawienie zapisów raciborskich odnoszących się do wstrząsów pochodzenia górnośląskiego:

21.I: 17^h26^m; 22.I: 9^h47^m; 1.III: 9^h11^m; 13.IV: 13^h27^m; 23.IV: 3^h29^m;
20.V: 5^h49^m 18.VI: 23^h50^m; 22.VI. 2^h10^m; 24.VI: 3^h47^m; 24.VIII: 12^h48^m;
20.IX: 17^h59^m; 3.X: 8^h18^m; 20.X: 9^h30^m; 26.X: 9^h43^m 31.X: 9^h31^m;
31.X: 9^h40^m; 4.XI: 14^h20^m; 7.XII: 17^h14^m; 14.XII: 5^h37^m.

Spis powyższy nie jest kompletny i nie obejmuje drobnych górniczych wstrząsów pochodzenia górnośląskiego, które zostały w 1951 r. zapisane w Raciborzu jako słabe ślady. Do zagadnienia tego wróćmy w dalszych biuletynach.

B I U L E T Y N S E J S M I C Z N Y
ŚLĄSKIEJ STACJI GEOFIZYCZNEJ
W RACIBORZU

ROK 1951

— 13 —

STYCZEŃ

1951

STYCZEŃ

Nr	Data	Faza	Godzina T. U.	Okres T	Amplituda			Uwagi
					A _N	A _E	A _Z	
1	1.I	NEZ	h m s 03 36-44	s	μ	μ	μ	Ślady
2	1.I							Nowe Hebrydy, $\Delta = 139^\circ$; BCIS i USCGS: $18^\circ S$, $169^\circ E$, $H = 20^h 16^m 20^s$; mikrosejsmy, brak składowej E
		(e) _z	20 35 52					
		e _N	38 34					
		e(PP) _z	39 12					
		e _z	21					
		e _N	59					
		e _z	41 01					
3	4.I	Z	03 49-04 00					Nowa Brytania Ślady
4	5.I	NEZ	01 05-08					Panama Ślady
5	6.I							Hindukusz, $\Delta = 39^\circ 5'$; BCIS i USCGS: $36^\circ 5' N$, $70^\circ 5' E$, $H = 05^h 17^m 19^s$, $h = 250$ km; $M = 7$ (Pasadena)
		eP _{NEZ}	05 24 37					
		e _{EZ}	25 24					
		e _N	27					
		ePP _N	26 01					
		iPP _E	03					
		ePP _Z	05					
		ePcP _N	32					
		iPcP _E	34					
		ePcP _Z	36					
		e _{NZ}	51					
		i _E	53					

— 14 —

SYTCZEŃ 1951 STYCZEŃ

Nr	Data	Faza	Godzina T. U.	Okres T	Amplituda			Uwagi
					A _N	A _E	A _Z	
5	6.I		h m s	s	μ	μ	μ	
		i _E	05 27 27					
		i _Z		29				
		e _N		31				
		e _{NE}	29 18					
		e _{S_{NE}}	30 07					
		e _{EZ}	31 20					
		e(SS) _Z	33 13					
		e(SS) _N		16				
		e(SS) _E		19				
		e _Z	34 18					
		F	06 02					
6	6.I							Panama Ślady
		NZ	08 03-18					
7	8.I							Japonia Ślady
		NEZ	18 44-53					
8	9.I							Grecja Ślady
		NEZ	00 30-41					
9	9.I							Ślady
		NEZ	16 07-28					
10	12.I							Ocean Lodowaty Północny Ślady
		NEZ	14 57-15 05					
11	14.I							Adriatyk Ślady
		NEZ	10 39-46					
12	15.I							Tonga Ślady
		e _Z	04 31 31					
		e _N	32 11					
		ePKS _Z	34 51					
		iPKS _E	53					
		e _Z	35 47					
		F	50					

— 15 —

STYCZEŃ 1951 STYCZEŃ

Nr	Data	Faza	Godzina T. U.	Okres T	Amplituda			Uwagi
					A _N	A _E	A _Z	
13	16.I		h m s	s	μ	μ	μ	
		ePr _Z	01 13 46					Włochy, $\Delta = 8^\circ$; BCIS: 42°N, 15°E, $H = 01^h 11^m 47^s$
		eP _Z		14	02			
		e _Z			08			
		ePg _Z			30			
		eSn _Z		15	23			
		e _N			50			
		e _{NZ}		16	04			
		eSg _Z			17			
		M _{NZ}		17	22	2,5	15	
		F		26				5
14	16.I							Grecja Ślady
		NEZ	12 39-47					
15	16.I							Ślady
		N	13 13-19					
16	17.I							Ślady
		NEZ	23 20-32					
17	18.I							Aleuty Ślady
		Z	21 27-36					
18	20.I							Ślady, mikrosejsmy
		EZ	16 35-39					
19	21.I							Górny Śląsk; Zabrze (GIG): $P 17^h 27^m 06^s$; na N i E mikrosejsmy
		ePg _Z	17 27 15					
		e _Z		24				
		e _Z		30				
		e _Z		35				
		e _Z		47				
		e _Z		58				
		e _Z		28	24			
		F		30				

— 16 —

Nr	Data	Faza	Godzina T. U.	Okres T	Amplituda			Uwagi
					A _N	A _E	A _Z	
20	21.I		h m s	s	μ	μ	μ	
21	22.I	NEZ	18 53 - 19 04					Eubea Ślady; mikrosejsmy
		e _Z	02 59 10					
		e _Z	25					
		e _Z	30					
		e _Z	41					
		e _Z	55					
		F	03 02					
22	22.I							Górny Śląsk; Zabrze (GIG): P 09 ^h 47 ^m 23 ^s
		e(Pg) _Z	09 47 27					
		e _Z	39					
		e _Z	46					
		e _Z	59					
		F	50					
23	22.I							Kanal Mozambicki, $\Delta = 70^\circ$; BCIS i USCGS: 17°5S, 41°E, H=12 ^h 16 ^m 02 ^s ; na N i E silne mikro- sejsmy
		eP _Z	12 27 18					
		e _E	33					
		F	37					
24	23.I	Z	07 11-20					Pacyfik Ślady
25	23.I	e _Z	19 16 10					
		e _Z	33					
		e _Z	35					
		e _Z	58					
		i _Z	17 00					
		F	19					

— 17 —

Nr	Data	Faza	Godzina T. U.	Okres T	Amplituda			Uwagi
					A _N	A _E	A _Z	
26	29.I		h m s	s	μ	μ	μ	
		e _Z	11 19 10					
		e _Z	34					
		e _Z	(43)					
		e _Z	30 00					
		e _Z	02					
		F	21					
27	30.I							
		eP _{NEZ}	23 12 12					
		e(PP) _{NEZ}	(36)					
		eS _N	16 03					
		iS _E	05					
		F	37					
LUTY								
28	1.II	Z	01 15-18					Ślady
29	1.II							Austria, $\Delta = 2^\circ$; Praga: 48°3N, 16°8E, H=06 ^h 07 ^m 54 ^s W przerwie minu- towej
		e _Z	06 08.6					
		e _Z	09 03					
		e _Z	18					
		e _Z	22					
		e _Z	26					
		F	13					
30	1.II							
		e _Z	17 09 48					
		e _Z	10 03					
		e _Z	13					
		F	12					

— 18 —

LUTY			1951			LUTY					
Nr	Data	Faza	Godzina		Okres T	Amplituda			Uwagi		
			T.	U.		A _N	A _E	A _Z			
31	2.II	Z	h	m	s	s	μ	μ	μ	Japonia Ślady	
32	3.II		21	15-17						Mała Azja, $\Delta = 16^\circ 5'$ BCIS: 37°3N, 30°9E, H = 23 ^h 59 ^m 15 ^s , h = 100 km; na Ni silne mikrosejsmy E	
		e(P) _{NZ}	00	03	02						
		e _Z				47					
		e _E				58					
		e _Z				04	23				
		e _Z				33					
		e(S) _N				06	10				
		e _N				21					
		e _N				40					
		F				15					
33	5.II	NE	10	01-04						Czechy, eksplozja Ślady	
34	5.II	Z	23	12-14						Ślady	
35	7.II	Z	03	50-54						Bonin Ślady	
36	8.II	ePKP _Z	10	57	58					Tonga	
		e _Z		58	21						
		e _Z			58.6						
		F	11	05							
37	9.II	ePKP _{NEZ}	01	38	53					Fidżi	
		F			43						
38	10.II	Z	03	47-54						Nowa Zelandia Ślady	
39	10.II	eP _Z	08	49	45					Hokkaido	
		e _Z		50	04						
		F		55							

— 19 —

LUTY			1951			LUTY					
Nr	Data	Faza	Godzina		Okres T	Amplituda			Uwagi		
			T.	U.		A _N	A _E	A _Z			
40	12.II		h	m	s	s	μ	μ	μ	Syberia, $\Delta = 54^\circ 6'$; USCGS: 66°N, 136°E H = 17 ^h 22 ^m 02 ^s ; M = 6½ (Pasadena) 6¾ (Praga)	
		e(P) _{NZ}			17	31	45				
		e(P) _E					47				
		e _S				35	27				
		eS _{NE}				39	08				
		eSS _E				42	44				
		e _{NE}				48	12				
41	13.II										
		e _{NEZ}			18	52	44	13	15.0		
		M _S				01		13	25.7		
		M _N				02					
		F				24					
		iPKP _Z			12	14	57				
		iPKP _N					57.5				
		ePKP _E					58				
		i _Z				15	02				
		i _Z					06				
		e _Z				16	09				
		e _Z				17	06				
		e _Z					21				
		ePP _E				18	09				
		e _E				20	11				
		F				34					

— 20 —

Nr	Data	Faza	Godzina T. U.	Okres T	Amplituda			Uwagi
					A _N	A _E	A _Z	
42	13.II		h m s	s	μ	μ	μ	Rejon Alaski, $\Delta = 72^\circ 5'$ BCIS i USCGS: 56°N, 155°5W H = 22 ^h 12 ^m 58 ^s ; M = 7 (Pasadena) 7 $\frac{1}{4}$ (Praga) 7 $\frac{1}{4}$ (Racibórz)
		e(P) _z	22 24 35	(39)				
		e(P) _{NE}						
		e _z	26 06					
		i _z	33					
		ePP _E	27 18					
		e(PPP) _E	29 13					
		e _E	30 15					
		e(S) _{NE}	34 12					
		e _z	48					
		e _N	35 24					
		e(SS) _{NE}	38 22					
		eL _E	22 48					
		eL _N	50					
		eL _z	56					
		M _E	57 20	61.6				
		M _{NE}	23 01.2	20 88.5 82				
		M _E	04	16	43			
		M _N	05	17	61.5			
		M _{NE}	06.4	20	100 60			
		M _E	07	16	47.6			
		F	57					
43	17.II							Chorwacja, $\Delta = 6^\circ$; BCIS: 44°3N, 17°7E, H = 20 ^h 35 ^m 59 ^s
		e _E	20 38 04					
		e _z	07					
		eSg _E	39 15					
		M _E	40 23	3.5	4.5			
		F	46					

Nr	Data	Faza	Godzina T. U.	Okres T	Amplituda			Uwagi
					A _N	A _E	A _Z	
44	17.II		h m s	s	μ	μ	μ	Nowa Gwinea, $\Delta = 119^\circ$; BCIS: 7°S, 146°E, H = 21 ^h 07 ^m 09 ^s , h = 200 km; na N i E mikrosejmy
		ePKP _E	21 25 01					
		ePP _{NEZ}	27 04					
		e _z	52					
		e _{NE}	29 49					
		e _z	32 39					
		F	49					
45	19.II							Węgry; wstrząs wstępny do nr 46 Praga: H = 20 ^h 04 ^m 56 ^s
		e(Pn) _z	20 05 34					
		e _{EZ}	06 12					
		e _z	34					
		F	11					
46	20.II							Węgry, $\Delta = 2^\circ 3$; BCIS: 47.7N, 19.7E, H = 00 ^h 14 ^m 06 ^s
		e(Pn) _z	00 14 (44)					
		ePg _N	50					
		ePg _Z	51					
		ePg _E	53					
		i _z	15 05					
		i _E	06					
		iSg _{NEZ}	21					
		i _E	33					
		i _z	33.5					
		i _N	35					
		M _Z	16 00	3				
		M _{NE}	10	4.5	109 89.6	343		
		F	31					

— 21 —

— 22 —

Nr	Data	Faza	Godzina T. U.	Okres T	Amplituda			Uwagi
					A _N	A _E	A _Z	
47	20.II		h m s	s	μ	μ	μ	
		NEZ	15 21-25					Ślady
48	21.II	Z	23 44-46					Ślady
49	24.II	e _z e _z e _z e _z F	07 48 25 37 48.7 48 56 50					Ślady
MARZEC 1951								
50	1. III	e _z e _{ez} i _z i _z M _z F	09 11 01 20 28 34 54 14	ca 2				Górny Śląsk; Zabrze (GIG): P 09 ^h 10 ^m 45 ^s
51	2. III	Z	01 39-44					Atlantyk Ślady
52	2. III	Z	05 07-08					Ślady
53	3. III	e _{ez} e _E e _{NZ} F	00 32 07 28 32 34					Ślady
54	5.III	Z	18 37-40					Ślady

— 23 —

Nr	Data	Faza	Godzina T. U.	Okres T	Amplituda			Uwagi
					A _N	A _E	A _Z	
55	5.III		h m s	s	μ	μ	μ	Riu-Kiu, $\Delta = 79^{\circ}5$; BCIS i USCGS: $29^{\circ}N, 128^{\circ}E$, $H = 20^h 11^m 45^s$, $h = 150$ km; $M = 7$ (Pasadena, Praga); na N i E mikro- sejsmy
		e(P) _{NEZ} ePcP _{NEZ} e _z ePP _z	20 23 43 47 24 29 26 (50)					
56	6.III		ePPP _z esS _N e(ScS) _{NE} F		28 34 34 30 35 01 42			W przerwie minu- towej
57	9.III	P _z F	19 08 26 15					
58	9.III	eiPKP _{2z} F	16 28 37 35					Assam Ślady
59	10.III	Z	20 02-08					Fidżi, $\Delta = 147^{\circ}$; BCIS i USCGS: $20^{\circ}S, 179^{\circ}W$, $H = 16^h 09^m 57^s$, $h = 600$ km
60	10.III	Z	02 25-27					
		P _z e(PP) _N eS _E	10 43 07 22 46 55					Morze Flores Ślady
								Fidżi Ślady
								Hiszpania, $\Delta = 20^{\circ}$; BCIS: $38^{\circ}N, 4^{\circ}3W$, $H = 10^h 38^m 36^s$

— 24 —

Nr	Data	Faza	Godzina T. U.	Okres T	Amplituda			Uwagi
					A _N	A _E	A _Z	
60	10. III		h m s	s	μ	μ	μ	<p>Zmiana papieru</p> <p>Nowe Hebrydy, $\Delta = 137^\circ 5'$, BCIS i USCGS: $15^\circ 5'S$, $167^\circ 5'E$, $H = 21^h 57^m 37^s$, $h = 200$ km; $M = 7\frac{1}{4} - 7\frac{1}{2}$ (Pasadena), $7\frac{1}{2}$ (Praga)</p>
		eS _N	10 47 03					
		e _N	17					
		eL _N	50					
		M _N F	50 19	5	4			
		e _{EZ}	22 15 22					
		e(PKP) _{NEZ}	16 45					
		e _{NEZ}	59					
		e _N	20 00					
		e _Z	07					
61	10. III	ePKS _{NE}	20					<p>Nadrenia, $\Delta = 7^\circ$; BCIS: $50^\circ 40'N$, $6^\circ 50'E$, $H = 09^h 46^m 58^s$ W przerwie minutowej</p>
		e _Z	21 25					
		ePPP _{NZ}	22 23					
		e _E	57					
		eSKS _N	23 24					
		eSKS _E	25					
		e _Z	24.8					
		ePS _{NE} F	30 00					
		P _Z	48					
		eP _E						
62	12. III	Z	08 59-09 13					<p>Slady</p>
63	12. III							<p>Tybet Slady, mikrosejmy</p>
P _Z eP _E e _N	15 02 33 35 03 33							<p>Kamczatka; BCIS i USCGS: $57^\circ N$, $160^\circ E$, $H = 20^h 28^m 55^s$; na N i E mikrosejmy</p>

— 25 —

Nr	Data	Faza	Godzina T. U.	Okres T	Amplituda			Uwagi
					A _N	A _E	A _Z	
63	12. III		h m s	s	μ	μ	μ	<p>Nadrenia, $\Delta = 7^\circ$; BCIS: $50^\circ 40'N$, $6^\circ 50'E$, $H = 09^h 46^m 58^s$ W przerwie minutowej</p>
		e _E	15 03 34					
		e _Z	35					
		ePP _Z	04 38					
		ePPP _Z	15 06 16					
		eL _{NE} F	32					
			37					
		Pn _Z	09 48 (48)					
		iPg _Z	49 18					
		eSn _N	50 15					
64	14.III	iSn _Z	16					<p>Slady</p>
		e _N	24					
		i _Z	29					
		iSg _{NEZ}	51 00					
		M _{NEZ}	03	4	108	40	270	
		M _{NEZ}	51 33	4	115	110	950	
		M _{NEZ} F	52 03	4	770	70	760	
			10 10					
		Z	03 54-57					
		NEZ	04 37-05 14					
65	16.III	NEZ	11 34-40					<p>Slady</p>
66	17.III							<p>Tybet Slady, mikrosejmy</p>
67	18.III							<p>Slady</p>
68	19.III							<p>Kamczatka; BCIS i USCGS: $57^\circ N$, $160^\circ E$, $H = 20^h 28^m 55^s$; na N i E mikrosejmy</p>
P _Z e _Z F	20 39 28 52 46							

— 26 —

MARZEC 1951 MARZEC

Nr	Data	Faza	Godzina T. U.	Okres T	Amplituda			Uwagi
					A _N	A _E	A _Z	
69	22.III	Z	19 56-59	s	μ	μ	μ	Samoa Ślady
70	23.III	iPKP _{1Z} ePKP _{2Z}	21 58 18 (48)					Wyspy Kermadec, $\Delta = 156^\circ$; BCIS i USCGS: 31°S, 180° H = 21 ^h 38 ^m 54 ^s , h = 300 km; M = 7.2 (Pasadena); na N i E mikro- sejsmy
		F	22 19					W przerwie minu- towej
71	24.III	NEZ	00 36-48					Wyspy Santa Cruz Ślady
72	28.III	Z	02 25-20					Nowa Zelandia Ślady
73	31.III	PKP _{1Z} F	06 40 39 42					Fidżi, $\Delta = 147^\circ$; BCIS: 19°S, 179°W, H = 06 ^h 21 ^m 03 ^s

KWIETIEŃ 1951

KWIETIEŃ

74	3.IV	Z	03 32-35			Tonga Ślady
75	5.IV	NEZ	03 18-37			Morze Jońskie Ślady
76	6.IV	NEZ	10 02-05			Ślady
77	8.IV					Tureja, $\Delta = 19^\circ 5'$; BCIS: 36°4'N, 37°5'E H = 21 ^h 38 ^m 0, h = 100 km

— 27 —

KWIETIEŃ 1951 KWIETIEŃ

Nr	Data	Faza	Godzina T. U.	Okres T	Amplituda			Uwagi
					A _N	A _E	A _Z	
77	8.IV	eP _E P _{NZ} iPP _{NZ} iPP _E ePPP _{NE} e _N e _N e(S) _N eSS _{NE} eSS _Z eL _E M _E F	21 42 25 26 40 43 53 43 15 45 12 46 12 35 46.8 6 49 49.3 7 22 12					
78	10.IV	Z	11 15-30					Samoa Ślady
79	13.IV							Górny Śląsk; Zabrze (GIG); e 13 ^h 26 ^m 53 ^s .8; Bytom (GIG); e 13 ^h 26 ^m 52 ^s .8; na N i E silne mi- krosejsmy
		e _Z e _Z e _Z F	13 27 (10) 18.5 29 30					
80	14.IV.	NEZ	00 59-01 19					Argentyna Ślady, mikrosejsmy
81	14.IV.							Turkiestan, $\Delta = 39^\circ$; BCIS: 39°1/4N, 72°E, H = 04 ^h 10 ^m 04 ^s ; na N i E silne mikrosejsmy
		eP _Z eP _E ePP _Z	04 17 33 35 19 08					

— 28 —

KWIETNIĘ 1951 KWIETNIĘ

Nr	Data	Faza	Godzina T. U.	Okres T	Amplituda			Uwagi
					A _N	A _E	A _Z	
81	14.IV		h m s	s	μ	μ	μ	<p>Ginie w mikrosejsmach</p> <p>Replika poprzedniego</p> <p>Syberia, $\Delta = 57^\circ$; BCIS: $62^{\circ}1/4N$, $136^{\circ}1/2E$ H=$13^h33^m01^s$; M=$6^{3/4}$ (Pasadena), $7\frac{1}{4}-7\frac{3}{4}$ (Praga); na Ni E silne mikrosejsmy</p>
		ePP _E	04 19 10					
		ePPP _Z		25				
		ePPP _E		27				
		e _N	20 01					
		e _N	21 07					
		e _{EN}		28				
		e _N	23 10					
		eS _{EN}		28				
		eSS _N	26 20					
		e _E	30					
		e _N	27 59					
		e _{EN}	28 49					
		e _N	30 12					
		F						
82	14.IV	Z	05 08-18					
83	14.IV							
84	14/15.IV	NEZ	23 50-00 29					
85	15.IV	ePKP _{NZ}	12 58 05					

— 29 —

KWIETNIĘ 1951 KWIETNIĘ

Nr	Data	Faza	Godzina T. U.	Okres T	Amplituda			Uwagi
					A _N	A _E	A _Z	
86	16.IV		h m s	s	μ	μ	μ	<p>Japonia, $\Delta = 79^\circ 6'$; BCIS i USCCS: $31^\circ N$, $137^\circ E$, H=$19^h52^m56^s$, h=500 km; M=7 (Pasadena); na Ni E mikrosejsmy</p>
		e _Z	20 04 30					
		e _Z	06 18					
		e _{NZ}	14 10					
		e _E		13				
		e _{EN}		23				
		e _Z		27				
		e _N		55				
		e _E		15 00				
		F		22				
87	20.IV	EZ	14 02-06					Ślady
88	22.IV	Z	01 36-38					Ślady
89	22.IV							Tybet, $\Delta = 60^\circ$; BCIS: $29^\circ N, 94^{\circ}3/4E$ H= $03^h37^m39^s$
90	22.IV	eP _Z	03 47 53					Persja Ślady
		i _E	48 16					
		e _E	49 04					
		e _E	50 59					
		F	04 06					
91	22.IV	EZ	06 38-55					0.6
		e _Z	17 40 54					
		e _Z	41 30					
		M _Z	34					
		F	43					
92	23.IV							Górny Śląsk; Bytom (GIG): P $03^h29^m16^s$

- 30 -

KWIECIEŃ

1951

KWIECIEŃ

Nr	Data	Faza	Godzina T. U.	Okres T	Amplituda			Uwagi
					A_N	A_E	A_z	
92	23.IV		h m s	s	μ	μ	μ	
		$e(Pg)_z$	03 29 21.5					
		e_z		30 14				
		e_z			19			
		M_z		24	2.5		3	
93	23.IV	Z	07 11-23					Nowa Zelandia Ślady
94	23.IV	e_z	12 20 14					
		e_B		16				
		e_E		24				
		e_z		(44)				W przerwie mi- nutowej
		M_z		54				
95	26.IV	Z	16 08-10					Ślady
96	27.IV	NEZ	13 10-18					Ślady
97	28.IV							
98	29.IV	e_z	04 50 47					
		e_z	51 08					
		e_z		13				
		e_{EZ}		26				
		M_z		46	2		1	
99	29.IV	NEZ	07 44-08 10					Ocean Lodowaty Północny Ślady
100	29.IV	Z	08 12-16					Ślady
		Z	10 32-38					Fidzi Ślady

— 31 —

KWIETIEŃ

1951

KWIETIEN

— 32 —

MAJ			1951			MAJ		
Nr	Data	Faza	Godzina T. U.	Okres T	Amplituda			Uwagi
					A _N	A _E	A _Z	
106	6.V		h m s	s	μ	μ	μ	
		EZ	15 10-12					Ślady
107	8.V		N	19 14-28				Grecja Ślady
108	10.V							Mozambik, $\Delta=71^\circ$; BCIS: 19°7S, 34°0E, $H=09^h19^m36^s$
		eP _N	09 29 53					
		eP _Z	54					
		e _E	30 06					
		e _N	07					
		e(S) _E	39 23					
		F	51					
109	12.V							Turkiestan, $\Delta=37^\circ$; BCIS: 42°N, 72°E, $H=22^h07^m9$; zapis słabo czytelny
		e _N	22 15 19					
		ePPP _N	16 52					
		eS _N	20 53					
		e _N	22 53					
		eSS _N	23 30					
		e _N	24 08					
		e _N	26 18					
		F	47					
110	14.V		NEZ	04 15-40				Beludżystan Ślady
111	15.V		NEZ	05 37-55				Chile Ślady
112	15.V							Włochy, $\Delta=7^\circ$; BCIS: 45°5N, 9°6E, $H=22^h54^m31^s$; $M=5.5$ (Rzym); brak składowej N
		eP _Z *	22 56 35					
		e _E	57 01					

— 33 —

MAJ			1951			MAJ		
Nr	Data	Faza	Godzina T. U.	Okres T	Amplituda			Uwagi
					A _N	A _E	A _Z	
112	15.V				h m s	s	μ	
		e _Z	22 57 12		26			
		e _{EZ}			31			
		e _E			47			
		e _E			56			
		e _E *			58 05			
		e _E			08			
		iSg _Z			20			
		iSg _E			22			
		e _E			43			
		M _E			59 02	1	45	
		F			23 15			
113	16.V							Replika poprzedniego; BCIS: $H=02^h27^m03^s$; brak składowej N
		e _Z	02 29 44					
		eS _{NZ}	30 11					
		eS _{NE}			14			
		e _E			46			
		e _Z			52			
		Sg _Z			59			
		e _E			31 15			
		e _Z			23			
		e _E			32			
		e _E			36			
		M _Z			31.8	2.5		5
		F			43			
114	19.V							Hiszpania, replika Nr 60; BCIS: $H=15^h54^m24^s$
		eP _Z	15 59 02					
		eP _{NE}			03			
		ePP _{NZ}			15			
		ePPP _{NZ}			27			
		e _{NZ}			33			
		e _Z			16 00 33			
		S _{NE}			02 57	4	5.8	5.5
		eS _Z			58			

— 34 —

Nr	Data	Faza	Godzina T. U.	Okres T	Amplituda			Uwagi
					A _N	A _E	A _Z	
114	19.V	SS _N SS _E M _N F	h m s 16 03 10 12 07 03 ca. 4 14	s s	μ μ μ			
115	20.V	Z	05 49-53					Górny Śląsk Ślady
116	21.V	NEZ	08 46-09 06					Wyspy Salomona Ślady
117	22.V	Z	05 15-17					Tonga Ślady
118	23.V	Z	13 27-36					Ślady
119	24.V	Z	08 36-39					Pacyfik Ślady
120	25.V	N	08 52-56					Ślady
121	25.V	ePn _E	20 44 23					Adriatyk, $\Delta = 7^{\circ} 8'$; BCIS: 42°8'N, 14°E, H=20 ^h 42 ^m 29 ^s
		e _Z	34					
		ePg _N	45 12					
		e _E	49					
		e _Z	50					
		eSn _Z	57					
		e _E	46 14					
		e _Z	15					
		e _E	36					
		e _N	38					
122	25.V	F	21 00					Ślady
		NEZ	21 06-14					
123	26.V	NEZ	11 10-25					Grecja Ślady

— 35 —

Nr	Data	Faza	Godzina T. U.	Okres T	Amplituda			Uwagi
					A _N	A _E	A _Z	
124	28.V	NEZ	h m s 14 20-32	s	μ	μ	μ	Morze Śródziemne Ślady
125	28.V	NEZ	16 08-16					Tybet Ślady
126	28.V	Z	19 19-22					Ślady
127	30.V	NEZ	20 13-43					Molukki Ślady
128	31.V							Filipiny, $\Delta = 85^{\circ} 1/2$ BCIS i USCGS: 19°N, 121°E, H=20 ^h 56 ^m 00 ^s ; h=100 km; na N, E, Z brak przerw minutowych od 21 ^h 30 ^m
		eP _N	21 08 24					
		e _N	10 22					
		ePP _N	12 09					
		e _N	32					
		F	22 22					
CZERWIEC								
129	5.VI	NEZ	03 40-51					Iran Ślady
130	5.VI							Japonia, $\Delta = 81^{\circ}$; BCIS: 29°5'N, 131°E, H=16 ^h 57 ^m 47 ^s , h=100 km; $M = (3/4)-7$ (Pasa dena) $7\frac{3}{4}$ (Praga)
		iP _Z	17 09 56					
		eP _E	57					
		eP _N	58					
		ipP _Z	10 09					
		e _N	22					

— 36 —

CZERWIEC 1951 CZERWIEC

Nr	Data	Faza	Godzina T. U.	Okres T	Amplituda			Uwagi
					A _N	A _E	A _Z	
130	5. VI		h m s	s	μ	μ	μ	
		e _{EZ}	17 11 03					
		e _{NEZ}			23			
		e _{NE}	13 11					
		e _{NE}	15 30					
		e _N	17 16					
		e _E	24					
		e _N	20 02					
		e _E	08					
		esS _{NE}	32					
		e _{NE}	21 06					
		e _N	24 58					
		eL _E	41					
		eL _N	42					
		M _E	46.8	19	140			
		M _N	46.9	18	130	140		
		M _E	50.9	18				
		F	18 25					
131	6. VI							Wyspa Jan Mayen, △=25°; BCIS: 72°5N, 8°5W, H=16 ^h 10 ^m 49 ^s , h=60 km; M=7 (Pasadena) 6-6 ³ / ₄ (Praga) 6.1 (Racibórz)
		eP _{NZ}	16 16 13					
		eP _E	15					
		epP _N	19					
		e _N	27					
		ePP _{NE}	44					
		e _N	56					
		ePPP _N	17 01					
		e _{NE}	18 58					
		eS _E	20 28					
		eS _N	31					
		i _N	21 12					
		iSS _N	29					
		eSSS _N	41					
		e _{NE}	22 05					
		e _{NE}	23 32					

— 37 —

CZERWIEC 1951 CZERWIEC

Nr	Data	Faza	Godzina T. U.	Okres T	Amplituda			Uwagi
					A _N	A _E	A _Z	
131	6. VI		h m s	s	μ	μ	μ	
132	7. VI	NEZ	04 09-19					Australia [*] Ślady
133	7. VI	EZ	04 37-42					Ślady
134	7. VI	NEZ	16 24-28					Ślady
135	9. VI	Z	04 10-16					Fidżi Ślady
136	11. VI	EZ	15 06-09					Ślady
137	12. VI	N	08 12-17					Australia Ślady
138	12. VI	NEZ	22 47-23 16					Hindukusz Ślady
139	13. VI	NZ	04 07-09					Ślady
140	13. VI	NEZ	07 43-51					Austria, replika nr 132 Ślady
141	15. VI	Z	21 01-07					Ślady
142	18. VI	ePg _z	23 50 40					Górny Śląsk; Bytom (GIG): P 23 ^h 50 ^m 28 ^s .5 Zabrze (GIG): P 23 ^h 50 ^m 28 ^s .6
		e _z	51 03					

— 38 —

CZERWIEC 1951 CZERWIEC

Nr	Data	Faza	Godzina T. U.	Okres T	Amplituda			Uwagi
					A _N	A _E	A _Z	
142	18.VI	e _Z F	h 23 51 30	m 54	s	μ	μ	μ
143	19.VI	Z	17 06-07					Fidzi Ślady
144	19.VI	EZ	19 44-48					Niemcy Ślady
145	20.VI	NEZ	22 02-11					Formoza Ślady
146	22.VI	ePg _Z e _Z e _{EZ} e _{EZ} e _{EZ} e _{EZ} e _{EZ} i _Z e _E F	02 09 40 49 10 10 21 27 35 44 11 08 11 14	09 40 49 10 10 21 27 35 44 11 08 11 14				Górny Śląsk; Zabrze (GIG): P 02 ^h 09 ^m 31 ^s .5 Bytom (GIG): e _E 02 ^h 09 ^m 38 ^s .5
147	24.VI	ePg _Z e _Z e _Z e _Z e _{NZ} e _{EZ} e _Z e _{NEZ} e _E e _E e _E F	03 47 27.4 31 40 48 48 08 18 20 26 42 49 14 19 52	47 27.4 31 40 48 48 08 18 20 26 42 49 14 19 52				Górny Śląsk; Zabrze (GIG): e _E 03 ^h 47 ^m 19 ^s .3 Bytom (GIG): e _E 03 ^h 47 ^m 23 ^s .2

— 39 —

CZERWIEC 1951 CZERWIEC

Nr	Data	Faza	Godzina T. U.	Okres T	Amplituda			Uwagi
					A _N	A _E	A _Z	
148	24.VI	Z	04 46-48	m	s	μ	μ	Nowa Zelandia Ślady
149	24.VI	EZ	10 19-26					Ślady
150	24.VI	EZ	12 02-44					Ślady
151	24.VI	EZ	13 17-30					Ślady
152	25.VI	NEZ	16 23-30					Alaska Ślady
LIPIEC				LIPIEC			LIPIEC	
153	1.VII	Z	18 12-15					Fidzi Ślady
154	2.VII	NE	05 22-25					Filipiny Ślady
155	3.VII	iPKP _{zZ} ePKP _{zE} e _N e _Z e _N ePKS _E F	22 06 23 24 36 07 05 08 09 09 44 11					Tonga, $\Delta = 149^\circ$; USCGS: 21°S, 176°W, $H = 21^h 46^m 30^s$
156	3.VII	NEZ	05 32-39					Zatoka Aden Ślady
157	3.VII	Z	18 24-29					Zatoka Aden; replika Ślady

LIPIEG

1951

LIBRARY

Nr	Data	Faza	Godzina T. U.	Okres T	Amplituda			Uwagi
					A _N	A _E	A _Z	
158	4. VII		h m s	s	μ	μ	μ	Tonga, $\Delta = 147^\circ$; USCGS: $19^\circ S$, $174^\circ \frac{1}{2} W$; $H = 07^h 06^m 41^s$, $h = 150$ km
		e_N	07 25 30					
		$ePKP_{2z}$	26 09					
		$iPKP_{2z}$	12					
		e_E	21					
		e_z	28 20					
		e_E	23					
		e_N	29 20					
		e_z	37					
		F	31					
159	4. VII	NEZ	22 11-24					Ślady
160	5. VII	NEZ	14 19-21					Ślady
161	8. VII							Filipiny, $\Delta = 90^\circ 2'$; USCGS: $11^\circ N, 122^\circ E$; $H = 05^h 44^m 20^s$; $M = 6 \frac{1}{2}$ (Pasadena), 6.4 (Racibórz)
		$e(P)_z$	05 57 28					
		$e(P)_N$	32					
		e_E	35					
		e_z	58 45					
		e_N	59 38					
		e_E	45					
		$ePPP_E$	06 03 06					
		e_E	04 09					
		e_z	16					
		eS_N	08 16					
		eSS_N	14 18					
		$e(SSP)_N$	36					
		M_N	37					
		M_{NE}	41.6	18	18.4	23.7		
		M_{NE}	44					
		M_{NE}	46					
		F	07 06					

LIPIE

1951

LIPIEC

Nr	Data	Faza	Godzina T. U.	Okres T	Amplituda			Uwagi
					A _N	A _E	A _Z	
162	9. VII	Z	00 16-24	s	μ	μ	μ	Meksyk Ślady
163	10. VII	Z	23 37-40					Ślady
164	11. VII							Wyspy Bonin, $\Delta = 85.8^\circ$; USCGS: $28\frac{1}{2}^\circ N, 139\frac{1}{2}^\circ E$, $H = 18^h 22^m 00^s$, $h = 550 \text{ km}$; $M = 7$ (Pasadena)
		eiP _E	18 33 46					
		iP _Z		48				
		iP _N		49				
		i _{NZ}	37 00					
		iPP _E		13				
		ePPP _{NZ}	39 14					
		e _E		26				
		eS _E	43 32					
		S _N		39				
		esS _{NE}	46 (54)					W przerwie minutowej
		eSS _{NEZ}	49 34					
		eSSS _N	53 04					
		eL _E	19 02					
		eL _N	03					
		M _{NE}	09	12,10	13	7		
		M _{NE}	16	16, 15	28	20.5		
		F	34					
165	12. VII	NEZ	02 56-03 00					Ślady
166	12. VII	EZ	04 07-09					Ślady
167	12. VII	NZ	23 52-53					Ślady
168	13. VII	Z	06 46-48					Mała Azja Ślady
169	14. VII	NEZ	07 30-38					Kuryle Ślady

— 42 —

LIPIEC 1951 LIPIEC

Nr	Data	Faza	Godzina T. U.	Okres T	Amplituda			Uwagi	
					A _N	A _E	A _Z		
170	14.VII	EZ	h 15 46-53	m	s	μ	μ	μ	Jugosławia Ślady
171	15.VII	NEZ	18 40-49						Jugosławia Ślady
172	16.VII	NEZ	10 59-11 15						Nowa Gwineia Ślady
173	17.VII	NEZ	15 08-17						Nowe Hebrydy Ślady
174	18.VII								Grzbiet Atlantycki, $\Delta = 62^{\circ}3'$; USCGS: 1°N, 27°W, H=09 ^h 06 ^m 16 ^s ; M=6½ (Pasadena, Racibórz) 7 (Praga)
		eP _E	09 16 39						
		iP _{NZ}							40
		i _{NEZ}	18 32						
		i _E	34						
		ePP _N	19 04						
		ePP _Z	06						
		i _Z	20 25						
		PPP _N	30						
		PPP _E	31						
		ePeS _Z	21 16						
		PcS _N	18						
		e _E	24 37						
		i _N	40						
		ePS _E	25 22						
		ePPS _Z	29						
		iPPS _N	30						
		i _N	26 49						
		L _E	33						
		L _N	34						
		L _Z	36						
		M _N	38	14	48				
		M _{NEZ}	42	14,20;10	38.5	81	65		
		M _{EZ}	47	19,14,		102	152		
		M _N	48	15	44				

— 43 —

LIPIEC 1951 LIPIEC

Nr	Data	Faza	Godzina T. U.	Okres	Amplituda			Uwagi	
					A _N	A _E	A _Z		
174	18.VII	M _{NEZ} F	h 09 49.6	m	s	16,15	79.6	56 238	
			10 46						
175	19.VII	EZ	13 55-58						Ślady
176	19.VII								
		eP _Z	20 53	21					
		eP _{NE}			22				
		ePcP _Z			30				
		ePcP _{NE}			32				
		e(PP) _Z	56	10					
		e _{NE}	21 03	23					
		eScS _E			31				
		eScS _N			32				
		ePPS _N	04	06					
		F	10						
177	21.VII								
		eP _{EZ}	01 42	33					
		iP _Z			34				
		e _N			47				
		iPcP _Z	43	31					
		i _Z	45	30					
		ePeS _N	47	29					
		e(S) _N	51	08					
		eScS _N	52	31					
		eScS _E			34				
		F	02	21					
178	21.VII	NEZ	03 05						Ślady, koniec w nas- tępnym

- 44 -

LIPIEC

1951

LIPEE

Nr	Data	Faza	Godzina T. U.	Okres T	Amplituda			Uwagi
					A _N	A _E	A _Z	
179	21.VII	eP_{EZ} $e(P)_N$ $ePcP_N$ $ePcP_E$ ePP_N $ePPP_E$ ePS_E $eScS_E$ e_N F	h m s 03 31 35 41 33 05 07 31 34 16 38 34 41 30 42 44 04 15	s s s s s s s s s	μ μ μ μ μ μ μ μ μ μ	Morze Arabskie, $\Delta = 46^\circ 8'$; BCIS: $14^\circ N, 55^\circ E$, $H = 03^h 23^m 03^s$		
180	21.VII	EZ	08 59-09 07					Ślady
181	23.VII	NEZ	17 20.5-25					Rumunia Ślady, mikrosejmy
182	24.VII							Szwajcaria, $\Delta = 8^\circ$ BCIS: $46^\circ 25' N$, $7^\circ 33' E$, $H = 09^h 28^m$
183	25.VII	Z	11 05-08					Atlantyk Ślady
184	25.VII	Z	17 25-27					Japonia Ślady
185	26.VII	EZ	03 38-41					Ślady
186	26.VII							Japonia, $\Delta = 76^\circ 9'$ USCGS: $41^\circ N, 143^\circ E$, $H = 10^h 00^m 00^s$, $h = 100$ km

— 45 —

LIPIEC

1951

LIPIEC

Nr	Data	Faza	Godzina T. U.	Okres T	Amplituda			Uwagi
					A _N	A _E	A _Z	
186	26. VII		h m s	s	μ	μ	μ	
		ePcP _Z	10 11 50					
		ePcP _E		51				
		ePcP _N		52				
		ecP _Z	12 10					
		ePPP _Z	16 30					
		e _E	22 04					
		ePPS _N		37				
		e _E	26 35					
187	27. VII	Z	01 12-15					Japonia Ślady
188	28. VII	E	21 10-25					Japonia Ślady, mikrosejsmy brak składowej N i Z
189	28/29. VII	E	23 16-00 07					Japonia Ślady, brak składowej N i Z
190	29. VII	NE	23 51-56					Morze Banda Ślady, silne mikrosejsmy
191	31. VII	NE	13 53-57					Jawa Ślady, mikrosejsmy
SIERPIEŃ				1951	SIERPIEŃ			
192	1. VIII							Szwajcaria, replika nr 182; Zurych: $H = 09^h 55^m$
		e _N	09 58 43					
		e _Z	59 54					
		e _Z	10 00 17					
		e _N		28				
		e _Z		42				
		F	05					
193	2. VIII	NEZ	03 58-04 17					Nowa Brytania, Ślady, mikrosejsmy

SIERPIEŃ

1951

SIERPIEŃ

Nr	Data	Faza	Godzina T. U.	Okres T	Amplituda			Uwagi	
					A _N	A _E	A _Z		
194	2.VIII	EZ	10 35.9-47		s	μ	μ	μ	Ślady, brak przerw minutowych
195	2.VIII	EZ	19 17-38						Bardzo słabe ślady
196	3/4.VIII	NEZ	23 44-00 10						Mała Azja Ślady
197	4.VIII	NEZ	00 30-45						Replika poprzedniego, ślady
198	5.VIII	NEZ	15 17.3-26						Liban Ślady
199	5.VIII	EZ	17 35.6-58						Ślady
200	8.VIII	NEZ	8 44.5-49						Mała Azja Ślady
201	8.VIII	Z	13 09.8-11						Ślady
202	8.VIII								Gran Sasso (Włochy) △=8°6; BCIS: 42°5N, 13°4E H=20 ^h 56 ^m 30 ^s
		eP _N	20 58 38						
		eP _N	41						
		ePP _Z	45						
		eS _N _Z	21 00 16						
		eSS _E	35						
		eSg _N	01 12						
		i _E	18						
		i _Z	26						
		i _E	02 14						
		i _Z	32						
		i _N	46						
		iPcP _N	05 05						
		e _{NE}	08 32						
		e _N	12 18						
		F	15						

SIERPIEŃ

1951

SIERPIEŃ

Nr	Data	Faza	Godzina T. U.	Okres T	Amplituda			Uwagi
					A _N	A _E	A _Z	
203	9.VIII	Z	07 10-19		s	μ	μ	Ślady
204	9.VIII	E	08 01-06					Ślady
205	9.VIII	NEZ	15 16-17 36					Ślady; na E-W mikrosejsmy; prawdopodobnie dwa trzęsienia nalożone na siebie
206	10.VIII	NEZ	05 43-49					Grzbiet Atlantycki Ślady
207	10.VIII	NEZ	22 35-37					Ślady, mikrosejsmy
208	10.VIII	Z	23 11-22					Ślady
209	12.VIII							Morze Adriatyckie, △=7°6; BCIS: 43°4N, 14°0E, H=20 ^h 50 ^m 59 ^s ; na N i E mikrosejsmy
		ePP _Z	20 53 04					
		eS _Z	54 45					
		eSg _Z	55 10					
		eSg _E	15					
		e _N	39					
		e _E	57 29					
		e _Z	31					
		e _N	32					
		F	21 02					
210	12.VIII							Toskania (Włochy) △=8°1; BCIS: 44°1N 10°1E, H=21 ^h 19 ^m 37 ^s ; na N i E mikrosejsmy
		e(Pg) _Z	21 22 10					

— 48 —

SIERPIEŃ			1951			SIERPIEŃ			
Nr	Data	Faza	Godzina T. U.	Okres T	Amplituda			Uwagi	
					A _N	A _E	A _Z		
210	12. VIII	e _z	h 21 23 35 47 48 24 10 13 39 e _z e _E e _N e _z e _E F	m 25 21 27 25 26 36 30	s — + —	μ μ μ	μ μ μ	μ μ μ	Turcja, replika poprzedniego; BCIS: H=22 ^h 58 ^m 44 ^s ;
		e(S*) _z							
		e(S*) _N							
		e(Sg) _E							
		e(Sg) _z							
		e _z							
		e _E							
		e _N							
		e _z							
		e _E							
211	13. VIII	F							
		Turcja, $\Delta=14^{\circ}1$; BCIS: 40°N, 33°2E, H=18 ^h 33 ^m 26 ^s ; M=6.8 (Praga) 6 $\frac{3}{4}$ (Pasadena); na N zapis przerwany o 18 ^h 45 ^m							
		eP _z	18	36	43	4	—	—	
		eP _E			44	5	+	—	
		eP _N			45	5	—	—	
		iP _z			46				
		iP _E			47				
		iP _N			48				
		iPP _E			56				
		iPP _z			59				
		iPPP _E	37	05					
		iPPP _N			08				
		iS _E	39	24					
		iS _{NZ}			29				
		iSS _E			46				
212	13. VIII	iSS _N			48				
		iSS _E			59				
		M _N	40.6		6.2	115		Poza brzeg papieru	
		M _{NE}	41		5.7	121	124		
		M _N	42		5	>155			
		M _E	43		6		147		
		F	20	35					

— 49 —

SIERPIEŃ			1951			SIERPIEŃ		
Nr	Data	Faza	Godzina T. U.	Okres T	Amplituda			Uwagi
					A _N	A _E	A _Z	
212	13. VIII				h	m	s	s
		ePP _E		23	02	20		Turcja, replika poprzedniego; BCIS: H=22 ^h 58 ^m 44 ^s ;
		ePPP _Z				26		
		e _E			04	36		
		e _Z			05	26		
		e _{NZ}			09	33		
		F			50			
213	14. VIII	EZ		07	28-35			Ślady
214	14. VIII	Z		17	00-18			Ślady
215	14. VIII							Turcja, replika nr 211; BCIS: H=18 ^h 45 ^m 59 ^s
		eP _Z		18	49	20		
		eP _N				22		
		eP _E				24		
		ePPP _Z				45		
		eSSS _Z				52	26	
		e _N				54	39	
		e _E				41		
		e _Z				57	17	
		e _N				28		
		F				19	07	
216	16/17. VIII							Iran, $\Delta=36^{\circ}8$; BCIS: 28°2N, 57°3E; H=23 ^h 52 ^m 08 ^s
		eP _{EZ}				23	59	
		eP _N					21	
		ePP _E		00	00	43		
		ePPP _N				01	03	
		ePcP _N					41	
		eS _N				04	55	
		e _Z				05	11	
		ePcS _E				05	29	
		eSSS _N				08	06	

— 50 —

SIERPIEŃ 1951 SIERPIEŃ

Nr	Data	Faza	Godzina T. U.	Okres T	Amplituda			Uwagi
					A _N	A _E	A _Z	
216	16.VIII 1	eSeS _E e _Z F	00 09 35 12 32 26	s	μ	μ	μ	
217	17.VIII 1	NEZ	08 08-27					Ślady
218	18.VIII	NEZ	03 52-04 28					Wyspy Gilolo Ślady
219	19.VIII	NEZ	15 46-59					Afganistan Ślady
220	20.VIII	NEZ	19 53-59					Szwajcaria Ślady
221	20.VIII	e _N e _Z e _E e _E e _Z e _E e _N F	22 55 33 34 36 58 40 42 23 00 43 01 06 12					Morze Śródziemne
222	21.VIII	NEZ	11 14-39					Hawaje Ślady, mikrosejsmy
223	21.VIII	e _Z e _Z e _Z NE	18 01 17 32 02 12 01-02					Ślady, mikrosejsmy
224	22.VIII	Z	07 52-56					Ślady
225	22.VIII	E	14 20-29					Morze Jońskie Ślady, mikrosejsmy
226	24.VIII							Morze Jońskie, $\Delta = 13^\circ$, BCIS: $37^\circ 2' N, 20^\circ 9' E$ $H = 10^h 27^m 29^s$, $h = 100 \text{ km}$

— 51 —

SIERPIEŃ 1951 SIERPIEŃ

Nr	Data	Faza	Godzina T. U.	Okres T	Amplituda			Uwagi
					A _N	A _E	A _Z	
226	24.VIII	eP _E e(P) _N ePP _Z ePPP _E eSS _E e _Z ePcP _E ePcP _N e _E F	10 30 33 37 46 31 16 33 16 34 01 10 35 56 36 00 43 21 51	s	μ	μ	μ	
227	24.VIII	ePg _Z e _E e _N e _Z e _Z e _{NE} e _N e _E F	12 48 34 39 42 49 07 43 44 50 15 17 53					Górny Śląsk; Zabrze (GIG): P $12^h 48^m 23^s 7$ Bytom (GIG): P $12^h 48^m 25^s 2$
228	24.VIII	eiP _Z eiP _{NE} ePcP _Z ePP _E ePPP _N e _Z e _N e _E ePPS _E eSS _N F	14 32 59 33 02 11 35 37 37 29 42 42 54 56 43 24 47 24 53					Kuryle, $\Delta = 74^\circ 7'$; USCGS: $47^\circ N, 151^\circ E$ $H = 14^h 21^m 15^s$
229	24.VIII	NEZ	23 13-17					Hondo Ślady

— 52 —

SIERPIEŃ 1951 SIERPIEŃ

Nr	Data	Faza	Godzina T. U.	Okres T	Amplituda			Uwagi
					A _N	A _E	A _Z	
230	27.VIII	Z	h m s	s	μ μ μ			Morze Adriatyckie Ślady, mikrosejsmy
231	28.VIII	Z	19 30–40					Ślady
232	28.VIII	ePKP _{1NEZ}	16 49 (48)					Wyspy Kermadec, $\Delta = 149^{\circ}8'$; USCGS: 27°S, 178°E, H=16 ^h 31 ^m 11 ^s , h=600 km; na N i E mikrosejsmy W przerwie minutowej
233	30.VIII	Z	50 02					Ślady
234	31.VIII	ePKP _{2N}	03					Fidzi, $\Delta = 146^{\circ}$; USCGS: 19°S, 179°W, H=10 ^h 09 ^m 18 ^s , h=600 km; na E mikrosejsmy
235	31.VIII	ePKP _{2Z}	52 37					Grecja, $\Delta = 14^{\circ}6'$; BCIS: 35°7'N, 22°4'E; H=12 ^h 29 ^m 35 ^s ; na N i E mikrosejsmy
236	31.VIII	ePKS _Z	53 15					WRZESIEŃ 1951 WRZESIEŃ
237	1.IX	ePP _E	42					Włochy, $\Delta = 7^{\circ}8'$; BCIS: 43°0'N, 13°2'E, H=06 ^h 56 ^m 04 ^s ; na E brak przerw minutowych

— 54 —

WRZESIEŃ 1951 WRZESIEŃ

Nr	Data	Faza	Godzina T. U.	Okres T	Amplituda			Uwagi
					A _N	A _E	A _Z	
237	1. IX	e _{NZ}	h m s	s	μ	μ	μ	W przerwie minutowej
		M _E	07 01 (00)	4		24	1.5	
		M _Z	01.2	2				
		M _{NE}	01.4					
		M _Z	01.5	3.5; 7	20.7	19.0	2.5	
		F	02.2	2				
			11					
238	5. IX	Z	17 01-03					Ślady
239	5. IX	Z	18 06-08					Ślady
240	6. IX	Z	17 35.7-36.5					Ślady
241	7. IX							Belgia, $\Delta = 7^{\circ}8'$; BCSF: $50^{\circ}25'N$, $6^{\circ}05'E$, $H=23^h06^m52^s$; na N uszkodzony mechanizm zegarowy; na N i E mikrosejsmy
		eS _n _z	23 10 21					
		e _z	44					
		eS _g _z	11 12					
		e _E	25					
		e _z	23 12 16					
		e _z	21					
		F	15					
242	9. IX							Samoa, $\Delta = 144^{\circ}7'$ USCGS: $16^{\circ}S$, $173^{\circ}W$, $H=04^h44^m00^s$; na N i E mikrosejsmy
		PKP _z	05 03 38					
		ePKP _N	40					
		ePKP _E	41					
		e _z	05 11					

— 55 —

WRZESIEŃ 1951 WRZESIEŃ

Nr	Data	Faza	Godzina T. U.	Okres T	Amplituda			Uwagi
					A _N	A _E	A _Z	
242	9. IX	e _E e(PKS) _z F	05 05 15 07 03 09		h m s	s	μ μ μ	
243	11. IX	Z	18 04-07					Ślady
244	12. IX	EZ	11 43-45					Ślady, mikrosejsmy
245	12. IX	NEZ	16 56-59					Ślady, mikrosejsmy
246	12. IX	Z	20 52-56					Ślady
247	14. IX	Z	20 34-21 57					Ślady dalekiego trzęsienia
248	15. IX	(e) _z ePP _z ePPP _E e _N eS _E i _E e _z i _N F	22 54 45 55 15 22 56 39 57 24 59 31 40 23 00 37 07					Turcja, $\Delta = 12^{\circ}$; BCIS: $40^{\circ}3'N$, $28^{\circ}1'E$; $H=22^h52^m07^s$; na N i E silne mikrosejsmy
249	16. IX	Z	13 04-06					Ślady
250	16. IX							Tonga, $\Delta = 150^{\circ}5'$; USCGS: $22^{\circ}S$, $177^{\circ}W$, $H=16^h38^m03^s$, $h=200$ km;

— 56 —

WRZESIEŃ 1951 WRZESIEŃ

Nr	Data	Faza	Godzina T. U.	Okres T	Amplituda			Uwagi			
					A _N	A _E	A _Z				
250	16.IX	ePKP _{2z} e _Z EN	h m s 16 57 34 58 20 57-59	s	μ	μ	μ	Ślady, mikrosejsmy Tonga, $\Delta = 147^{\circ}7$; USCGS: 18°S, 173°W; na N i E mikrosejsmy			
	17. IX										
251	19.IX										
252	20.IX										
253	21.IX										
254	24.IX										
255	26.IX										

Ślady

— 57 —

WRZESIEŃ 1951 WRZESIEŃ

Nr	Data	Faza	Godzina T. U.	Okres T	Amplituda			Uwagi
					A _N	A _E	A _Z	
259	27. IX	Z	19 36-50	s	μ	μ	μ	Wyspy Vancouver Ślady
260	28/29.IX	NEZ	23 48-00 09	s	μ	μ	μ	Wyspy Kermadec Ślady
								PAŹDZIERNIK 1951 PAŹDZIERNIK
261	1. X				P _Z	01 30 30		Morze Śródziemne, $\Delta = 17^{\circ}$; BCIS: 34°6'N, 26°7'E, $H = 01^h 26^m 33^s$
					eP _N	36		
					ePP _Z	41		
					e _E	32 46		
					eSS _N	33 46		
					ePcP _Z	35 23		
					e(PcP) _N	31		
					e _E	39		
					F	45		
262	3.X	NEZ	08 18-21					Górny Śląsk Ślady
263	3. X	NEZ	20 54-59					Wyspy Kermadec Ślady
264	4.X	NEZ	05 51-57					Hindukusz Ślady
265	6. X	NEZ	06 04-19					Aleuty Ślady
266	11. X	NEZ	01 52-02 13					Nowa Brytania Ślady
267	12. X	Z	08 37-42					Ślady
268	13. X	EZ	01 35-42					Tonga Ślady
269	13. X	Z	09 09-12					Ślady

— 58 —

PAŹDZIERNIK

1951

PAŹDZIERNIK

Nr	Data	Faza	Godzina T. U.	Okres T	Amplituda			Uwagi
					A _N	A _E	A _Z	
270	13. X	EZ	h m s	s	μ	μ	μ	Ślady
271	14. X	EZ	16 08-11					
272	14. X	EZ	01 08-17					Ślady
273	16. X	EZ	09 39-55					Morze Jawa Ślady
		eP _E	07 00 14					Morze Arktyczne, $\Delta = 27^{\circ}3'$; BCIS: 77°N, 6°E; H=06 ^h 54 ^m 30 ^s ;
		eP _Z	19					mikrosejsmy
		ePPP _N	01 11					
		ePPP _{EZ}	12					
		F	10					
274	17. X	NEZ	10 11-21					Bulgaria Ślady, mikrosejsmy
275	18. X							Japonia, $\Delta = 75^{\circ}6'$; USCGS: 42°N, 142°E H=08 ^h 26 ^m 25 ^s , h=100 km; na N i E silne mikro- sejsmy
		iP _Z	08 38 10					
		ePcP _E	13					
		iPcP _Z	14					
		ePcP _N	15					
		epP _N	22					
		ipP _E	26					
		i _Z	35					
		i _Z	39 13					
		ePP _{EZ}	40 47					
		ePPP _Z	42 46					
		e _Z	48 13					
		F	09 00					

— 59 —

PAŹDZIERNIK

1951

PAŹDZIERNIK

Nr	Data	Faza	Godzina T. U.	Okres T	Amplituda			Uwagi
					A _N	A _E	A _Z	
276	18. X	e _Z	20 00 49					Jura Szwabska
		e _Z	01 08					
		NE	00-04					
277	19. X	Z	06 50-51					Ślady, sejsmiczny?
278	19. X	pP _Z	15 03 16.5					Japonia
		i _Z	33.5					Na E ślady, mikrosejsmy
		F	10					
279	20. X	e _Z	09 30 31					Górny Śląsk;
		e _Z	39					Zabrze (GIG)P 09 ^h
		e _Z	53					30 ^m 18 ^s .5; Bytom (GIG):
		M _Z	31.5					P 09 ^h 30 ^m 20 ^s .7
		F	33					
		NE	30-33					
280	21. X	eP _{NE}	21 46 29					Ślady, mikrosejsmy
		iP _Z	31					
		ePcP _N	35					Taiwan, $\Delta = 80^{\circ}5'$
		iPcP _Z	43					wstrząs wstępny do nr 283; USCGS:
								24°N, 122°E,
								H=21 ^h 34 ^m 13 ^s ;
								M=7 ³ / ₄ -8 (Praga),
								7.5 (Rzym), 6 ³ / ₄
								(Pasadena), 7 ¹ / ₄
								(Racibórz); na N
								i E silne mikro- sejsmy

— 60 —

PAŹDZIERNIK

1951

PAŹDZIERNIK

Nr	Data	Faza	Godzina T. U.	Okres T	Amplituda			Uwagi
					A _N	A _E	A _Z	
			h m s	s	μ	μ	μ	
280	21. X							
		i _E	21 46 51					
		iPP _N	49 24					
		eS _N	56 34					
		eScS _Z	47					
		iScS _{NE}	48					
		ePS _N	57 20					
		ePS _Z	21					
		iPS _E	23					
		ePPS _Z	42					
		eL _E	22 03					
		eL _N	08					
		eL _E	09					
		eL _{NZ}	16					
		M _{NE}	24.5	17, 14	231	119.5		
		M _Z	25	15			250.5	
		M _N	25.3	17	338.5			
		M _Z	27	15			175.5	
		M _E	27.5	17		285.5		
		M _{NZ}	29	17, 14	184.5		216.5	
		M _E	34.5	16		96		
		M _E	37.2	17		85.5		
		M _{NE}	38.2	20	666	84.3		
		F						W następnych
281	21. X							Kuryle; nałożony na ma- ksima poprzedniego na N i E trudno czytelny
		e _Z	22 19 50					
		e _Z	20 47					
282	21. X							Taiwan; nałożony na nr 280 na N i E fazy trudno odczytać
		eP _Z	23 07 37					
		e _Z	08 38					
		e _Z	09 25					
283	22. X							Taiwan, $\Delta = 80^\circ.5$; USCGS: $24^\circ\text{N}, 122^\circ\text{E}$

— 61 —

PAŹDZIERNIK

195

PAŹDZIERNIK

Nr	Data	Faza	Godzina T. U.	Okres T	Amplituda			Uwagi
					A _N	A _E	A _Z	
283	22. X		h m s	s	μ	μ	μ	H = 03 ^h 29 ^m 26 ^s ; M = 7 (Pasadena), 7 ³ / ₄ -8 (Praga), 7-7 ¹ / ₄ (Wellington), 6 ³ / ₄ (Racibórz); na N i E mikro- sejsmy
		eP _z	03 41 41					
		iP _z		42				
		eP _N		44				
		eP _E		45				
		i _z	42 09					
		i _E		41				
		iPP _z	44 45					
		SKS _E	51 50					
		i _N	52 15					
		ePS _{NE}		33				
		ePPS _z		42				
		eL _N	04 01					
		eL _E		03				
		eL _{NE}		06				
		eL _z		10				
		M _{NEZ}	12	6, 9, 8	14.5	61	32	
		M _{NE}	19	10	62	76		
		M _{NE}	20.1	15	135.2	220.3		
		M _z	23.2	15			150.5	
		M _N	23.5	17	184.5			
		M _{NE}	24.5	14., 10	134.5	54		
		M _{NE}	30	16; 19.5	123.5	195.5		
		M _z	30	17			254	
		M _E	04 31.2	19		119		
		F						W następnym
284	22.X							Taiwan, replika nr 283; USCGS: H=04 ^h 28 ^m 05 ^s ; nałożone na po- przednie; silne mikrosejsmy; na N i E fazy trudno odeczytać

— 62 —

PAŹDZIERNIK 1951 PAŹDZIERNIK

Nr	Data	Faza	Godzina T. U.	Okres T	Amplituda			Uwagi
					A _N	A _E	A _Z	
284	22.X		h m s	s	μ	μ	μ	Taiwan, replika nr 283; USCGS: H=05 ^b 17 ^m 44 ^s ; na N i E mikrosejsmy; fazy trudno czy- telne, nałożone na poprzednie
		eP _N	04 40 14					
		eP _Z			18			
		ePcP _Z			27			
		ePcP _E			33			
		e _Z	43 40					
		e _Z	49 45					
		e _N	55 17					
285	22.X		h m s	s	μ	μ	μ	Taiwan; replika nr 283; USCGS: H=05 ^b 23 ^m 53 ^s ; na- łożone na poprzednie
		eP _Z	05 29 50					
		ePcP _Z	30 12					
		ePP _Z	32 49					
286	22. X		h m s	s	μ	μ	μ	Taiwan; replika nr 283; USCGS: H=05 ^b 23 ^m 53 ^s ; na- łożone na poprzednie
		ePcP _Z	05 36 08					
287	22. X		h m s	s	μ	μ	μ	Taiwan, replika nr 283; mikrosejsmy
		eP _Z	05 55 16					
		ePcP _E	22					
		ePcP _N	23					
		i _Z	33					
		i _E	56 07					
		i _N	13.5					
		ePPP _Z	06 00 10					
		iS _E	05 17					
		eS _N	21					

— 63 —

PAŹDZIERNIK 1951 PAŹDZIERNIK

Nr	Data	Faza	Godzina T. U.	Okres T	Amplituda			Uwagi
					A _N	A _E	A _Z	
287	22. X		h m s	s	μ	μ	μ	
		iScS _N	06 05 39					
		eScS _Z			40			
		iPS _N	06 03					
		iPS _E	06					
		ePS _Z	08					
		ePPS _N	25					
		ePPS _E	26					
		e(SS) _Z	10 23					
		eL _E	21					
		eL _N	24					
		eL _Z	25					
		M _Z	33		13			95
		M _E	33.4		12		52	88
		M _Z	35		11			
		M _N	36.3		15	70	62.5	
		M _{NE}	42.3		14	57.5	36.5	
		M _E	46.4		12			
	22. X	eL _E	12 01					
288	22. X							Taiwan replika nr 283; mikrosejsmy
289	22. X	eP _Z	13 00 51					
		ePcP _Z	01 04					
		i _Z	06 08					
	22. X	eP _Z	13 13 27					
		iP _Z			28.5			
		ePcP _Z			39			
		eL _E			37			
		eL _B			51			
								Taiwan, replika nr 283; BCIS: H=13 ^b 01 ^m 13 ^s ; nałożone na po- przednie; na N i E mikrosejsmy
								Taiwan, replika nr 283; BCIS: H=13 ^b 01 ^m 13 ^s ; nałożone na po- przednie; na N i E mikrosejsmy

— 64 —

PAŹDZIERNIK

1951

PAŹDZIERNIK

Nr	Data	Faza	Godzina T. U.	Okres T	Amplituda			Uwagi
					A _N	A _E	A _Z	
291	22.X	<i>ePcP_z</i> <i>e_z</i> <i>e_z</i>	h m s 14 59 06 15 00 35 07 28	s μ μ μ	Taiwan, replika nr 283; BCIS: H=14 ^h 46 ^m 42 ^s			
292	22.X	<i>eP_z</i> <i>eP_E</i> <i>e(PcP)_N</i> <i>ePP_z</i> <i>eS_N</i> <i>eSeS_E</i> <i>eSeS_z</i> <i>eL_E</i> <i>M_N</i> <i>M_{EZ}</i>	15 42 03 07 14 46 48 52 06 24 26 16 13 19 20	15 41	Taiwan, replika nr 283; USCGS: H=15 ^h 29 ^m 47 ^s ; nałożone na poprzed- nie			
293	22.X	<i>eP_z</i> <i>e_z</i> <i>e_z</i>	16 19 09 23 09 25 45	15 41	Taiwan, replika nr 283; BCIS H=16 ^h 06 ^m 55 ^s ; nałożone na poprzed- nie			
294	22.X	<i>eP_z</i>	18 54 46		Taiwan, replika nr 283; BCIS: H=18 ^h 42 ^m 33 ^s			
295	22.X	<i>eP_z</i>	21 03 52 06 27		Taiwan, replika nr 283; BCIS: H=20 ^h 51 ^m 38 ^s			

— 65 —

PAŹDZIERNIK

1951

PAŹDZIERNIK

Nr	Data	Faza	Godzina T. U.	Okres T	Amplituda			Uwagi	
					A _N	A _E	A _Z		
296	22.X		h m s 23 48 36 49 13 52 44	s μ μ μ	Taiwan; replika nr 283				
297	23.X		e _Z e _Z e _Z eP _E eP _N eP _Z ePP _Z eL _E M _E M _N	01 31 44 47 50 34 56 02 02 10 13	Taiwan, replika nr 283; USCGS: H=01 ^h 19 ^m 35 ^s ; na N i E mikrosejs- my				
298	23.X	iPKP _Z	06 32 16		Fidżi				
299	23.X		eP _Z ePcP _Z e _Z eL _{NE} M _N M _E	09 07 29 41 10 05 38 44 47	Taiwan, replika nr 283; USCGS: H = 08 ^h 55 ^m 13 ^s ; na N i E mikrosejs- my				
300	24.X		e _Z e _Z e _Z	19 35 06 46 37 14	Taiwan, replika nr 283; BCIS: H=19 ^h 23 ^m 17 ^s				
301	25.X	Z	01 21-23		Ślady				

— 66 —

PAŹDZIERNIK

1951

PAŹDZIERNIK

Nr	Data	Faza	Godzina T. U.	Okres T	Amplituda			Uwagi
					A _N	A _E	A _Z	
302	25.X		h m s	s	μ	μ	μ	Taiwan, replika nr 283; USCGS: H=12 ^h 19 ^m 38 ^s ; na N i E mikrosejsmy
		eP _z	12 31 53					
		e _z	33 21					
		e _z	35 10					
		e _z	39 13					
		eL _E	13 02					
		eL _N	03					
		M _{EZ}	06.6	15	30.5			
		M _{NZ}	07					
		M _N	08					
303	26.X	e _z	09 40 22					Górny Śląsk; Bytom (GIG): P 09 ^h 43 ^m 30 ^s
		e _z	50					
		e _z	41 06					
304	26.X	e(Pg) _z	09 43 36					Wyspy Makaryjskie Ślady
		e _E	50					
		e _E	44 08					
		e _N	09					
		i _z	15					
		i _z	33.5					
		F	47					
305	28.X	Z	07 07-12					Ślady
306	29.X	NEZ	12 39-42					Ślady, mikrosejsmy
307	29.X							Ślady, mikrosejsmy
		ePn _E	16 39 42					
		eP* _z	53					
		e _N	40 07					
		ePg _z	11					

— 67 —

PAŹDZIERNIK

1951

PAŹDZIERNIK

Nr	Data	Faza	Godzina T. U.	Okres T	Amplituda			Uwagi
					A _N	A _E	A _Z	
307	29.X		h m s	s	μ	μ	μ	Ślady
		i _z	16 39 31					
		eSn _N	41 04					
		eSg _{EZ}	43					
		i _N	42 23					
		e _{NE}	44 05					
		ePcP _z	46 37					
		F	48					
		Z	18 54-56					
308	29.X							Włochy, △=7°7'; Rzym: 44°26'N, 10°40'E H=22 ^h 48 ^m 57 ^s
		eSS _z	22 52 32					
		eSS _N	37					
		e(S) _{EZ}	55					
		eSg _z	53 12					
		e _N	54 03					
		e _z	08					
		e _E	09					
		F	57					
310	30.X	Z	09 45-46					Ślady
311	30.X	NEZ	16 02-13					Ślady, mikrosejsmy
312	30.X	NEZ	16 36-40					Ślady, mikrosejsmy
313	31.X							Sumatra, △=83°1'; USCGS: 3°N, 101°E; H=06 ^h 56 ^m 21 ^s

— 68 —

PAŹDZIERNIK 1951 PAŹDZIERNIK

Nr	Data	Faza	Godzina T. U.	Okres T	Amplituda			Uwagi
					A _N	A _E	A _Z	
313	31.X		h m s	s	μ	μ	μ	M = 6½—6¾ (Pasadena); na N i E mikrosejsmy
		eP _Z	07 08 52					
		e _E			55			
		e _N	09 03					
		e _Z			20			
		e _Z	13 24					
		e _Z			28			
		e _N	19 17					
		e _N			18			
		e _Z	27					
		eScS _N			52			
		ePS _Z						
		eL _{NE}	55					
314	31.X							Sumatra, replika nr 313; USCGS: H = 08 ^h 03 ^m 11 ^s ; nałożone na poprzednie
		eP _Z	08 15 (41)					
		e _Z	17 20					
		F	30					
315	31.X							Górny Śląsk; Zabrze (GIG): P 09 ^h 30 ^m 45 ^s .6
		NE	08 15-38					
		ePg _Z						
		e _E						
316	31.X							Górny Śląsk; Zabrze (GIG): e _N 09 ^h 39 ^m 51 ^s .7;
		e _{NZ}						
		i _Z						
		F	34					

— 69 —

PAŹDZIERNIK 1951 PAŹDZIERNIK

Nr	Data	Faza	Godzina T. U.	Okres T	Amplituda			Uwagi
					A _N	A _E	A _Z	
316	31.X		h m s	s	μ	μ	μ	W przerwie minutowej
		e _Z	09 39 (57)					
		e _N			40	49		
		i _Z				50		
317	31.X							Sumatra, replika nr 313
		F	43					
		eP _Z	10 34 48					
		e _N			35	51		Taiwan Ślady
		e _N			40	41		
318	31.X	NEZ	19 22-45					
								LISTOPAD 1951 LISTOPAD
319	1.XI							
		eP _{NE}	11 20 13					
		eP _Z			14			
		ePP _E	22 20					
		F	30					Tanganika, △ = 56°2; na N i E mikrosejsmy
320	2.XI							
		eP _{NE}	22 00 23					
		i _P _E			24			
		i _Z			32			Kaukaz, △ = 21°5; BCIS: 41°5N, 47°E, H = 21 ^h 55 ^m 31 ^s ; na N i E mikrosejsmy
		iPP _E			48			
		iPP _N			51			
		PPP _Z			(57)			
		i _Z	01 43					W przerwie minutowej
		eS _E			04 19			
		ePcP _N			27			

— 70 —

LISTOPAD			1951			LISTOPAD		
Nr	Data	Faza	Godzina T. U.	Okres T	Amplituda			Uwagi
					A _N	A _E	A _Z	
320	2.XI	<i>eSSS_E</i> <i>eSSS_N</i> <i>i_Z</i> <i>ePcS_{NZ}</i> <i>i_N</i> <i>i_E</i> <i>i_Z</i> <i>eScS_E</i> <i>F</i>	h m s 22 05 10 16 07 06.5 22 07 (57) 08 46 50 10 03 11 42 39	s s s s s s s s s	μ μ μ μ μ μ μ μ μ	W przerwie minutowej		
321	3.XI	NEZ	08 43-47			Ślady, mikrosejsmy		
322	4.XI	<i>e_{EZ}</i> <i>e_N</i> <i>ePPP_Z</i> <i>eSKS_E</i> <i>F</i>	11 22 53 55 28 32 33 26 40		Filipiny na N i E mikrosejsmy		W przerwie minutowej	
323	4.XI	<i>e_Z</i> <i>e_Z</i> <i>e_Z</i> <i>F</i>	14 20 32 48 21 18 24		Górny Śląsk; Zabrze (GIG): <i>e_N</i> 14 ^h 20 ^m 15 ^s .6, Bytom (GIG): <i>e_N</i> 14 ^h 20 ^m 18 ^s .6	Ślady, mikrosejsmy		W przerwie minutowej
324	6.XI	Z	04 45-47		Ślady			
325	6.XI				Kuryle, wstępny do nr 326; USCGS: $H=14^h57^m15^s$; na N i E mikro- sejsmy			W następnym
		<i>eP_Z</i>	15 09 03					

— 71 —

LISTOPAD			1951			LISTOPAD		
Nr	Data	Faza	Godzina T. U.		Okres T	Amplituda		Uwagi
			A _N	A _E		A _N	A _E	
325	6.XI	<i>eP</i> _E <i>ePcP</i> _N <i>F</i>	15 09 08 13 20					
326	6. XI	<i>eP</i> _{EZ} <i>eP</i> _N <i>ePcP</i> _{NEZ}	16 51 54 55 51 (58)					Kuryle, $\Delta=75^{\circ}7$; USCGS: $47^{\circ}N$, $154^{\circ}E$, $H=16^h40^m06^s$; $M=7-7\frac{1}{4}$ (Pasa- dena), $7\frac{1}{4}$ (Praga), 7.3 (Racibórz); na N i E mikro- sejsmy
		<i>i_E</i> <i>i_N</i> <i>i_Z</i> <i>e_E</i>	52 20 21 23 52 (58)					W przerwie minu- towej
		<i>ePP_N</i> <i>ePPP_E</i> <i>e_E</i> <i>e_Z</i> <i>ePPS_N</i> <i>ePPS_E</i> <i>eL_{NE}</i> <i>eL_Z</i> <i>M_{NE}</i> <i>M_{NE}</i> <i>M_Z</i> <i>M_N</i> <i>M_E</i> <i>M_E</i> <i>M_{NEZ}</i> <i>M_Z</i> <i>M_N</i> <i>F</i>	54 46 56 42 17 02 20 23 31 18 22 23.3 28.2 30 30.5 31.2 33.4 34.4 38 42.2	22 20 20 17 17 18 17 20 20 17 18 14 71 15 15			262 86.6 159 132.5 98 834 149 125.5	W nastepnym

— 72 —

LISTOPAD

1951

LIS TOPAD

Nr	Data	Faza	Godzina T. U.	Okres T	Amplituda			Uwagi
					A _N	A _E	A _Z	
327	6.XI	iP _Z cP _N eP _E i _Z eL _E eL _N F	h m s 19 02 16 20 39	s 33 37 20 02	μ μ μ			Kuryle; replika nr 326; na N i E mikrosejsmy
328	6.XI	Z	20 54-21 07					Kuryle; replika nr 326
329	8.XI	Z	00 03-05					Ślady, mikrosejsmy
330	8.XI	NEZ	13 57-14 03					Ślady, mikrosejsmy
331	9.XI	EZ	06 04-10					Taiwan
332	9.XI	NEZ	08 09-13					Ślady, mikrosejsmy
333	9.XI	EZ	08 36-40					Kuryle
334	9.XI	NEZ	22 25-30					Ślady, mikrosejsmy
335	10.XI	ePKP _z E	05 51 45 51-56					Fidżi
336	11.XI	NZ	09 40-42					Ślady, mikrosejsmy
337	11.XI	eP _z e _Z F	12 27 14 28 34 34					Kuryle Ślady

— 73 —

LISTOPAD

1951

LISTOPAD

Nr	Data	Faza	Godzina T. U.	Okres T	Amplituda			Uwagi
					A _N	A _E	A _Z	
338	12.XI				h m s	s	μ μ μ	Kuryle, $\Delta=75^{\circ}7$; USCGS: 47°N, 154°E, $H=08^h09^m26^s$, $M=6.8$ (Racibórz); na N i E mikro- sejsmy
					eP _Z	08 21 18		
					e _N	22		
					ePeP _E	26		
					e _N	23 30		
					e _Z	42		
					e _E	24 29		
					ePPS _N	31 43		
					M _{NE}	52.6	20	20 40
					M _{NE}	59	20	44 38
					M _N	09 04		
					F			
339	12. XI							W następnym
								Fidżi, $\Delta=150^{\circ}2$; USCGS: 23 $\frac{1}{2}$ S, 179°W, $H=09^b13^m50^s$, $h=400$ km; na- łozone na po- przednie; na N i E mikrosejsmy
					ePKP _{1E}	09 32 52		
					iPKP _{1Z}	53		
					ePKP _{2N}	32 (57)		
					e _Z	33 04		
					e _N	36 16		
					F	47		
340	12. XI	NEZ	19 33-37					W przerwie minu- towej
341	15. XI	NEZ	00 24-27					Kuryle Ślady, mikrosejsmy
342	15. XI							Ślady, mikrosejsmy
								Kamczatka, wstępny do nr 349; USCGS:

— 74 —

LISTOPAD

1951

LISTOPAD

Nr	Data	Faza	Godzina T. U.	Okres T	Amplituda			Uwagi
					A _N	A _E	A _Z	
342	15.XI	eP_z eP_e $e(P)_N$ ePP_N	08 37 18 19 25 41 47	h m s s μ μ μ	H=08 ^h 25 ^m 53 ^s ; na N i E mikro- sejsmy			
343	15. XI	eP_z $e(PP)_E$ ePP_N F	08 50 39 53 12 21 57	h m s s μ μ μ	Kamczatka, wstępny do nr 349; USCGS: H=08 ^h 39 ^m 15 ^s ; na N i E mikro- sejsmy			
344	15.XI	$e(P)_Z$ $ePcP_z$ $ePcP_E$ $ePcP_N$ F	10 13 (56) 14 21 22 23 20	h m s s μ μ μ	Kamczatka, wstępny do nr 349; USCGS: H=10 ^h 02 ^m 42 ^s ; na N i E mikro- sejsmy W przerwie minu- towej			
345	15. XI	eP_{EZ} $ePcP_E$ $ePcP_z$ e_z e_E F	10 42 (56) 43 11 12 46 28 56 41 11 02	h m s s μ μ μ	Kamczatka, wstępny do nr 349; USCGS: H=10 ^h 31 ^m 33 ^s ; na N i E mikro- sejsmy W przerwie minu- towej			

— 75 —

LISTOPAD

1951

Nr	Data	Faza	Godzina T. U.	Okres T	Amplituda			Uwagi
					A _N	A _E	A _Z	
346	15. XI				h m s	s	μ μ μ	Kamczatka, wstępny do nr 349; USCGS: H=15 ^h 03 ^m 01 ^s ; na N i E silne mikrosejsmy
347	15. XI	eP_E eP_z ePP_{EZ} F	15 14 25 26 15 16 19					Kamczatka, wstępny do nr 349; BCIS;; H = 16 ^h 12 ^m 12 ^s na N i E silne mikrosejsmy
348	15. XI	eP_z eP_E F	16 23 37 38 30					Kamczatka, wstępny do nr 349; USCGS: H = 17 ^h 45 ^m 23 ^s ; na N i E silne mikrosejsmy
349	15.XI	eP_E eP_E epP_E e_E F	17 56 44 45 54 58 49 18 00					Kamczatka, $\Delta = 72^{\circ}2'$; USCGS: $52\frac{1}{2}^{\circ}N, 160\frac{1}{2}^{\circ}E$, H = 19 ^h 42 ^m 12 ^s ; h = 60 km; M = $6\frac{1}{4}-6\frac{1}{2}$ (Pasadena, Praga); na N i E mikro- sejsmy
		eP_z eP_N epP_z $ePcP_E$	19 53 38 41 48 54					

- 76 -

LISTOPAD

1951

LISTOPAD

Nr	Data	Faza	Godzina T. U.	Okres T	Amplituda			Uwagi
					A _N	A _E	A _Z	
349	15. XI	ePP _N	h 19 56 12	s	μ	μ	μ	Kamczatka, replika nr 349; BCIS: H = 20 ^h 20 ^m 28 ^s ; na N i E mikrosejsmy
		ePP _E	14					
		e _N	20 02 42					
		ePPS _E	03 51					
		F	08					
350	15. XI	ePeP _Z	20 32 09					Ślady
		e _E	47					
		e _E	35 44					
		N	20 32-40					
351	15. XI	eP _Z	22 10 46					Kamczatka, replika nr 349; USCGS: H = 21 ^h 59 ^m 18 ^s
		ePeP _Z	11 03					
		NE	11-16					
352	15. XI	E	22 58-23 03					Ślady
353	16. XI	eP _Z	15 14 51					Kamczatka, replika nr 349; USCGS: H = 15 ^h 03 ^m 26 ^s ; na N i E mikrosejsmy
		ePeP _Z	15 06					
		e _E	26					
		ePP _E	19 14					
354	16. XI	eP _Z	15 32 08					Kamczatka, replika nr 349; USCGS: H = 15 ^h 20 ^m 44 ^s ; nałożone na poprzednie; na N i E silne mikrosejsmy

- 77 -

LISTOPAD

1951

Nr	Data	Faza	Godzina T. U.	Okres T	Amplituda			Uwagi
					A _N	A _E	A _Z	
354	16. XI	epP _N	15 32 16					Tybet, wstępny do nr 359; USCGS: H = 04 ^h 46 ^m 00 ^s ; na N i E mikrosejsmy
		ePcP _Z	26					
		ePcP _E	30.5					
		ePP _Z	34 41					
355	17. XI	e _Z	40 30					Kamczatka Ślady, mikrosejsmy
		eS _E	41 22					
		F	16 10					
356	17. XI	P _Z	04 55 45.5					Kamczatka Ślady, mikrosejsmy
		eP _N	48					
		e(P) _E	52					
		ePcP _E	56 41					
357	18. XI	e _Z	57 22					Kamczatka, replika nr 349; USCGS: H = 04 ^h 38 ^m 35 ^s ; na N i E mikrosejsmy W przerwie minutowej
		ePP _Z	42					
		ePeS _Z	05 00 40					
		ePS _E	03 39					
358	18. XI	F	40					Ślady
359	18. XI	NEZ	20 36-43					Wschodni Tybet, △ = 55°8'; I wstrząs wstępny USCGS: H = 09 ^h 26 ^m 33 ^s ;

— 78 —

LISTOPAD

1951

LISTOPAD

Nr	Data	Faza	Godzina T. U.	Okres T	Amplituda			Uwagi
					A _N	A _E	A _Z	
358	18.XI		h m s	s	μ	μ	μ	II wstrząs główny, USCGS: 31°N, 90°½E, H=09 ^h 35 ^m 44 ^s ; M=8.3 (Praga) 7½(Pasadena), 8.3(Racibórz); oba wstrząsy są nalożone na siebie; na N i E mikro- sejmy
i		eP _N (I)	09 36 17					
		eP _z (I)	19					
		eP _E (I)	23					
		ePP _N (I)	38 14					
		ePP _E (I)	15					
		e _z	43 38					
		ePPS _N (I)	44 16					
		e _E	46					
		iP _z (II)	45 34.5					
		iP _E (II)	35					
		iP _N (II)	38					
		ScS _z (I)	45 (56)					
		iSeS _N (I)	46 05					
		iPcP _{NE} (II)	29					
		i _z	49					
		i _N	47 02					
		iPP _z (II)	34.5					
		iPP _E (II)	37.5					
		iSS _z (I)	49					
		iPPP _z (II)	48 40					
		ePPP _E (II)	41					
		i _E	49 01.5					
		iPcS _E (II)	21					
		iSS _{NE} (I)	47					
		i _E	50 01					
		iPcS _N (II)	27					
		iPPS _{NE} (II)	53 27					
		i _N	55 26					
		i _z	29					
		eL _{EZ}	57					

— 79 —

LISTOPAD

1951

LISTOPAD

Nr	Data	Faza	Godzina T. U.	Okres T	Amplituda			Uwagi
					A _N	A _E	A _Z	
358	18.XI	eL _N	58					
i		M _N	10 06.3		16	873		
		M _N	07.3		22	1868		
		M _{NE}	08.1		20	2000	900	Poza brzeg papieru
		M _E	08.6		17	943		
		M _N	09.4		17>	1292.5		
		M _{EZ}	09.6		19, 19	1207.5	1428.5	
		M _N	10		15	1110		Poza brzeg papieru
		M _E	11		20	1082		
		M _N	11.1		17	954		
		M _E	14.1		12	266		
		M _N	14.2		10	171		
		M _E	14.6		13	206.5		
								Tybet, replika nr 359;
								Ślady, silne mikro- sejmy
360	18.XI	NEZ	12 16-48					
		NEZ	21 23-29					
361	19.XI	Z	19 14-21					
		i						
362	21.XI							
363	24.XI							
364								
		eP _z (I)	18 59	26.5				
		iP _z (I)		29				
		eP _N (I)		30.5				
		ePcP _Z (I)		38				

LISTOPAD 1951 LISTOPAD

Nr	Data	Faza	Godzina T. U.	Okres T	Amplituda			Uwagi
					A _N	A _E	A _Z	
			h m s	s	μ	μ	μ	
363	24.XI	iz	19 02 37					
i		e _N		39				
364		ePcP _N (II)		43				
		iPcP _Z (II)		47.5				
		i _N	04	10				
		i _Z		37				
		iPP _N (II)	05	34				
		i _N	06	03				
		i _N	09	49.5				
		iPS _N (I)	10	27				
		i _N	12	46				
		e _{NZ}		(54)				
		eL _N	28					
		eL _Z	29					
		M _Z	39.6	11	189.5	317.5		
		M _N	41.3	11	201			
		M _N	42.4	11				
		M _Z	43.5	12				
		M _N	48.1	14	106			
		M _N	55.5	13	99			
		F	21 07					
365	24.XI	NZ	21 36-41					Kamczatka
								Ślady, mikrosejsmy
366	25.XI	NZ	11 47-53					Ślady, mikrosejsmy
367	26.XI							Taiwan, replika nr 364; USCGS: 23°N, 121°E, H = 06 ^h 38 ^m 29 ^s ; na N mikrosejsmy
		eP _Z	06 50 45					
		iP _Z	46.5					
		eP _N	47					
		ePP _Z	53 (53)					
		e _N	55 20					
		e _Z	24					
		e _N	07 01 00					
								W przerwie minu- towej

LISTOPAD 1951 LISTOPAD

Nr	Data	Faza	Godzina T. U.	Okres T	Amplituda			Uwagi
					A _N	A _E	A _Z	
367	26.XI	e _Z	07 01 03					
		F	10					
368	27.XI	NZ	10 26-29					Ślady, mikrosejsmy
369	29.XI	NEZ	04 59-05 11					Celebes Ślady, silne mikro- sejsmy
370	30.XI	ePP _Z	06 10 32					Alpy, = 10°2; BCSF: 43°51'N, 6°24'E H = 06 ^h 07 ^m 55 ^s ; na N i E silne mikrosejsmy
		e _N	11 45					
		e _E	12 05					
		eS _N	24					
		eSSS _E	49					
		eSSS _N	50					
		eSSS _Z	51					
		i _Z	13 40					
		i _N	51					
		e _Z	(54)					
371	30.XI	i _E	14 05					
		i _Z	16					
		i _N	15 13					
		e _E	16	36.5				
		F	19					
		eP _Z	07 59 54					Atlantyk, Δ=46°5; USCGS: 32°N, 41°W, H = 07 ^h 51 ^m 17 ^s 5; na N i E silne mikrosejsmy

LISTOPAD

1951

LISTOPAD

Nr	Data	Faza	Godzina T. U.	Okres T	Amplituda			Uwagi	
					A_N	A_E	A_Z		
			h	m	s	s	μ	μ	μ
371	30.XI								
		$e(P)_E$	07	59	56				
		e_N	08	00	00				
		$ePeP_z$		01	20				
		$ePeP_N$			26				
		ePP_E			35				
		$ePPP_z$	02	18					
		$ePPP_E$			20				
		$ePPP_N$			21				
		F	08						

GRUDZIEŃ

1951

GRUDZIEŃ

372	4.XII	EZ	08	32-35			Ślady
373	4.XII	e_z	14	22	11		
		e_z			33		
		NE		22-28			Ślady, mikrosejsm
374	5.XII	NZ	07	10-13			Taiwan
375	5.XII	EZ	10	06-08			Ślady, mikrosejsm
376	6.XII	EZ	14	42-45			Kolumbia
377	7.XII						Ślady
		e_z	17	14	42		Górny Śląsk;
		e_{NE}			45		Bytom (GIG): P
		e_z		15	30		$17^h14^m22^s.2$
		e_N			36		
		e_E			45		
		F			17		
378	8.XII	NEZ	03	52-55			Kuryle
							Ślady, mikrosejsm

GRUDZIEŃ

1951

GRUDZIEŃ

Nr	Data	Faza	Godzina T. U.	Okres T	Amplituda			Uwagi
					A _N	A _E	A _Z	
379	8.XII		h m s	s	μ	μ	μ	Ocean Indyjski, $\Delta = 90^\circ.7$, USCGS: 34°S , $56\frac{1}{2}^\circ\text{E}$, $H = 04^{\text{h}}14^{\text{m}}20^{\text{s}}$, $h = 100 \text{ km}$; $M = 7 \frac{3}{4}$ (Pasadena), $7\frac{1}{4}$ (Praga); na N i E mikrosejsmy
		eP _N	04 27 15					
		iP _Z		16.5				
		iPcP _Z		24				
		ePcP _E		24				
		iPcP _N		25				
		i _N		40				
		i _E	28 29					
		i _Z		30				
		i _N		32				
		iPP _N	30 49					
		iPPP _N	32 45					
		e _{NE}	38 15					
		i _N		32				
		eL _{NE}	51					
		M _{NE}	54	60	854.5	798.5		
		M _{NZ}	05 01	60	854.5		2021	
		M _E	02	60		854.5		
		M _E	08.4	18		49.5		
		M _N	13.3	18	53.5			
		M _Z	14	15			125.5	
		M _Z	19	19			149	
		M _N	19.5	18	53.5			
		M _N	22	15	33.5			
		M _E	22.5	18		66		
		F	07 25					
380	12.XII							Meksyk, $\Delta = 90^\circ.7$; USCGS: 17°N , $94\frac{1}{2}^\circ\text{W}$, $H = 01^{\text{h}}37^{\text{m}}34^{\text{s}}$, $h = 100 \text{ km}$; $M = 7$ (Pasadena),

GRUDZIEŃ

1951

GRUDZIĘDZ

Nr	Data	Faza	Godzina T. U.	Okres T	Amplituda			Uwagi
					A_N	A_E	A_Z	
380	12.XII.			s	μ	μ	μ	
			h m s					
		eP_z	01 50 35					
		$iPcP_z$		38				
		$ePcP_e$		39				
		$e(pP)_z$		(59)				
		e_z		52 41				
		e_n		47				
		e_e		53 24				
		F	02 15					
381	13.XII							
		$e(PP)_z$	20 48 59					
			49 16					
		e_n		18				
		e_e		50 48				
		eS_z		52 52				
		e_n		53				
		e_e		54 42				
		$ePcP_e$		43				
382	14.XII							
		$ePcP_n$						
		e_z		56 47				
		F	21 04					
383	15.XII.							
		e_z	05 37 18					
				41				
		e_z		38 24				
		e_z		39 11				
384	16.XII.							
		e_z		42				
		F		37-42				
		NE						

GRUDZIEŃ

1951

GRUDZIĘŃ

Nr	Data	Faza	Godzina T. U.	Okres T	Amplituda			Uwagi
					A _N	A _E	A _Z	
383	17.XII	EZ	12 41-44	s	μ	μ	μ	Ślady
384	17.XII	NEZ	12 48-53					Tonga Ślady
385	18.XII							Tonga, $\Delta = 147^\circ 3$; USCGS: $19^\circ S$, $174\frac{1}{2}^\circ W$, $H = 14^h 09^m 03^s$; $h = 60$ km; na N mikrosejsmy; na E brak zapisu
		e _Z	14 28 14					
		e _N	19					
		ePKP _{1Z}	36					
		ePKP _{1N}	38					
		iPKP _{2Z}	46					
		F	35					
386	19.XII	NEZ	04 58 - 05 01					Ślady, brak przerw minutowych
387	20.XII	NEZ	19 19-31					Wyspy Jońskie Ślady, brak przerw minutowych
388	21.XII							Chiny, $\Delta = 64^\circ 9$; USCGS: $26 \frac{1}{2}^\circ N$, $100^\circ E$, $H = 08^h 37^m 28^s$; na N początek za- kłócony przez obec- ność obserwatora; mikrosejsmy
		eP _Z	08 48 11					
		eP _E	14					
		ePcP _E	38					
		e _Z	49 (53)					
		e _E	59					
		e _N	52 22					
		ePP _Z	53 08					
								W przerwie minutowej

— 86 —

GRUDZIEŃ 1951 GRUDZIEŃ

Nr	Data	Faza	Godzina T.U.	Okres T	Amplituda			Uwagi	
					A _N	A _E	A _Z		
388	21.XII	eL _E eL _N M _N M _E F	09 10 11 17 18 52		s	μ	μ	μ	
389	21.XII	EZ	18 18-24						Kuryle Ślady, mikrosejsmy
390	22.XII	Z	12 48-50						Ślady
391	22. XII	EZ	~22 18-21						Jugosławia Ślady, mikrosejsmy; brak przerw minutowych
392	23. XII	Z	~00 40-55						Tonga Ślady, mikrosejsmy; brak przerw minutowych
393	23. XII	Z	~22 57-59						Ślady; brak przerw minutowych
394	24. XII	Z	~09 44-47						Ślady; brak przerw minutowych
395	25. XII	EZ	~16 12-19						Kuryle Ślady; brak przerw minutowych
396	26. XII	Z	~01 09-13						Pacyfik Ślady; brak przerw minutowych
397	26. XII	NEZ	~10 20-40						Tybet Ślady; brak przerw minutowych
398	26. XII	NEZ	~16 39-17 17						Pustynia Gobi Ślady; brak przerw minutowych

— 87 —

GRUDZIEŃ 1951 GRUDZIEŃ

Nr	Data	Faza	Godzina T. U.	Okres	Amplituda			Uwagi
					A _N	A _E	A _Z	
399	27.XII	Z	~02 35-37		s	μ	μ	Kuryle Ślady; brak przerw minutowych
400	27.XII	e _Z e _Z e _Z F	16 29 58 31 13 33 59 40					Wyspy Jońskie; na N i E silne mikrosejsmy
401	28.XII	ePcP _Z ePcP _E e _N ePPP _{EZ} ePPS _Z e _N eL _{NE} M _{NE} M _E F	09 33 19 24 37 38 32 45 20 35 10 12 22 24 50					Meksyk, $\Delta = 87^\circ$; USCGS : $17^\circ N$, $98\frac{1}{2}^\circ W$, $H = 09^h 20^m 25^s$; $M = 7\frac{1}{4}-7\frac{1}{2}$ (Pasedena), $6\frac{3}{4}-7$ (Berkeley); na N i E mikrosejsmy
402	28.XII	Z	22 16-22					
403	30.XII	NEZ	15 35-37					Ślady, mikrosejsmy
404	30.XII							Ślady, mikrosejsmy

GRUDZIEŃ

1951

GRUDZIEŃ

Nr	Data	Faza	Godzina T.U.	Okres T	Amplituda			Uwagi	
					A _N	A _E	A _Z		
404	30.XII		h	m	s	s	μ	μ	μ
		iP _Z	18	28	16.5				
		eP _E			22				
		e _N		29	33				
		ePPP _E			58				
		ePPP _Z			59				
		ePcP _E	34	27					
		e(PcS) _N			35				
		eScS _E	38	28					
		e _Z	39	22					
405	31.XII	F	49						

Bożena WOJTCZAK
Zakład Geofizyczny PAN

PRZEGŁĄD WAŻNIEJSZYCH TRZĘSIEŃ ZIEMI
ZAPISANYCH NA ŚLĄSKIEJ STACJI GEOFIZYCZNEJ
W RACIBORZU W 1951 ROKU

Streszczenie

W artykule omówiono szereg trzęsień ziemi, jakie wystąpiły w 1951 r. ze szczególnym uwzględnieniem charakteru zapisu tych trzęsień na Śląskiej Stacji Geofizycznej w Raciborzu.

W styczniu Śląska Stacja Geofizyczna w Raciborzu zanotowała ogółem 27 wstrząsów, z czego 16 stanowiło mało czytelne ślady. Do najsilniejszych w tym miesiącu zaliczyć należy głębokie (250 km) trzęsienie ziemi w Hindukuszu na NE od Afganistanu [5] w dniu 6. Współrzędne epicentrum według BCIS są: 36°5N, 70°5E; początek trzęsienia nastąpił o 05^h24^m19^s. Magnituda trzęsienia według Pasadeny równa jest 7. Fale podłużne dotarły do Raciborza o 05^h24^m37^s, a fale poprzeczne o 05^h30^m07^s. Zapis jest dość długi, wyróżniają się w nim fazy PP, Pcp, SSS. W dniu 15 sejsmografy notowały przez 19 minut trzęsienie ziemi zasłe w rejonie Nowych Hebrydów (BCIS: 15°S, 167°E, h = 150 km) o 04^h12^m14^s [12]. Odczytanie trzęsienia było utrudnione przez występujące w tym dniu mikrosejmy. Nieco uwagi należy poświęcić trzęsieniu, które miało miejsce w dniu 26 o 01^h11^m53^s — we Włoszech [13]. BCIS podaje następujące wartości współrzędnych: 42°N, 15°8E. Trzęsienie to zostało odczute dość silnie w rejonie epicentralnym — w S. Nicandro jako trzęsienie VII stopnia skali M-S, w Viesta — jako VI, w Foggia jako V. Na zapisie raciborskim udało się wyróżnić fazy typowe dla trzęsień bliskich, a więc fazę Pn o 01^h13^m46^s, Pg — o 01^h14^m30^s, Sn o 01^h15^m23^s; Sg — 01^h16^m17^s. Maksima występujące o 01^h17^m miały okres 2^s5 i amplitudy 5μ i 15μ. Koniec rejestracji nastąpił mniej więcej po 13 minutach. Trzęsienie ziemi, które miało miejsce w dniu 30 o 23^h07^m23^s we wschodniej części Morza Śródziemnego (BCIS: 32°4N, 33°4E), jest w Raciborzu słabo czytelne ze względu na silne mikrosejmy [27]. Trzęsienie to zostało odczute w Port Saidzie (V stopień skali M-S), w Gaziie, Jaffie i Haifie (IV stopień skali M-S), w Jerozolimie (III-IV stopień skali M-S) i w rejonie Bejrutu

(II stopień skali M-S). Według danych USCGS trzęsienie to należałoby zaliczyć do niezbyt często występujących w tym rejonie trzęsień głębokich ($h = 100$ km). Wstrząsy oznaczone numerami [19] z dnia 21 i [22] z dnia 22 są to wstrząsy górnośląskie.

W lutym stacja raciborska zanotowała 22 wstrząsy, 10 z nich to bardzo słabe ślady przeważnie trzęsień dalekich. Z trzęsień dalekich więcej uwagi poświęcić należy trzem: z dnia 12 z rejonu Syberii [40] i dwom z dnia 13 — z rejonu wysp Samoa [41] i z rejonu Aleutów [42]. Fale P trzęsienia syberyjskiego ($66^{\circ}\text{N}, 136^{\circ}\text{E}, H = 17^{\text{h}}22^{\text{m}}02^{\text{s}}$) dotarły do Raciborza o $17^{\text{h}}31^{\text{m}}45^{\text{s}}$. Dość wyraźnie zaznaczają się maksima fal długich o $18^{\text{h}}01^{\text{m}}02^{\text{s}}$. Amplitudy są rzędu $12\text{--}24\mu$. Magnituda tego trzęsienia wahala się w granicach $6\frac{1}{2}$ (Pasadena) — $6\frac{3}{4}$ (Praga). Magnitudę równą 7 podaje Pasadena dla trzęsienia z rejonu wysp Samoa (USCGS: $15^{\circ}\text{S}, 175^{\circ}\text{W}$) z dnia 13, $H = 11^{\text{h}}55^{\text{m}}50^{\text{s}}$. Trzęsienie to zalicza się do trzęsień głębokich ($h = 250$ km). Rejestracja w Raciborzu rozpoczyna się wyraźnie i ostro fazą jądrową PKP o $12^{\text{h}}14^{\text{m}}57^{\text{s}}$. Drugie trzęsienie ziemi, które nastąpiło tego samego dnia w godzinach wieczornych ($H = 22^{\text{h}}12^{\text{m}}58^{\text{s}}$), spowodowało w Raciborzu blisko półtoragodzinny zapis. Pierwsze fale dotarły do Raciborza o $22^{\text{h}}24^{\text{m}}35^{\text{s}}$. Epicentrum tego trzęsienia leżało w rejonie Alaski (BCIS i USCGS: $56^{\circ}\text{N}, 155^{\circ}\text{W}$). Na zapisie wyróżniają się dość wyraźnie fale powierzchniowe i ich maksima, które wystąpiły między $23^{\text{h}}04^{\text{m}}$ a $23^{\text{h}}07^{\text{m}}$. Amplitudy wahala się w granicach $35\text{--}67\mu$. Magnituda trzęsienia wyznaczona w Raciborzu (1) wynosiła $7\frac{1}{4}$; magnituda ta niewiele różniła się od magnitudy wyznaczonej przez Pasadenę ($M = 7$) i Pragę ($M = 7\frac{1}{4}$). Z wstrząsów europejskich w lutym należałoby wymienić sztuczny wybuch w Czechach [33], który został zanotowany w postaci śladu, następnie słabo zanotowany w dniu 17 o $20^{\text{h}}38^{\text{m}}04^{\text{s}}$ wstrząs w Chorwacji [43] ($44^{\circ}3\text{N}, 17^{\circ}\text{E}, H = 20^{\text{h}}35^{\text{m}}59^{\text{s}}$) oraz dwa trzęsienia ziemi na obszarze Węgier. Pierwsze [45] w dniu 19 o $20^{\text{h}}05^{\text{m}}34^{\text{s}}$ stanowiło wstrząs wstępny do trzęsienia z dnia 20 [46]. Epicentrum tego trzęsienia według BCIS ma współrzędne: $47^{\circ}7\text{N}, 19^{\circ}7\text{E}$; początek nastąpił o $00^{\text{h}}14^{\text{m}}06^{\text{s}}$. V. Karnik podaje nieco inne wartości, a mianowicie: $47^{\circ}58'9\text{N}, 19^{\circ}16'1\text{E}, H = 00^{\text{h}}14^{\text{m}}09^{\text{s}}7$; głębokość ogniska ocenia na około 8 km (2). Pierwsza fala (Pn) została w Raciborzu zanotowana w przerwie minutowej między $00^{\text{h}}14^{\text{m}}$ a $00^{\text{h}}15^{\text{m}}$; z innych faz, rozpoczętymi się na ogół dość ostro, wyróżniono Pg i Sg. Maksima o amplitudach $57\text{--}81\mu$ pojawiają się o $00^{\text{h}}16^{\text{m}}$.

W marcu seismografy stacji w Raciborzu zanotowały ogółem 23 wstrząsy; 18 z nich to wstrząsy słabo zarejestrowane lub ślady. Należy zauważyć, że opracowanie seismogramów było utrudnione przez dość silnie występujące mikrosejsmy. Pierwsze silniejsze trzęsienie ziemi ($M = 7$ według Pasadeny i Pragi) zostało zanotowane w dniu 5 o $20^{\text{h}}23^{\text{m}}43^{\text{s}}$ [55]. Epicentrum tego trzęsienia leżało w rejonie wyspy Riu-Kiu. BCIS i USCGS podają następujące współrzędne: $29^{\circ}\text{N}, 128^{\circ}\text{E}$; ognisko to zaliczało się do ognisk głębszych ($h = 150$ km). Trzęsienie rozpoczęło się o $20^{\text{h}}11^{\text{m}}45^{\text{s}}$. Zapis raciborski trwa około 20 minut,

na składowej Z wyróżniono kilka faz, głównie typu P; na seismografiach poziomych zapis zakłócony jest przez mikrosejsmy. W dniu 10 zanotowano w Raciborzu dwa trzęsienia. Pierwsze [60], rejestrowane między $10^{\text{h}}43^{\text{m}}07^{\text{s}}$ a $10^{\text{h}}50^{\text{m}}$ miało swoje epicentrum w Hiszpanii (BCIS: $38^{\circ}\text{N}, 4^{\circ}3\text{W}$); początek trzęsienia o $10^{\text{h}}37^{\text{m}}57^{\text{s}}$. Magnituda trzęsienia według Strasburga równa jest 5. Trzęsienie to spowodowało w rejonie epicentralnym pewne straty; odczute zostało na powierzchni jako trzęsienie VIII—V stopnia skali M-S. Według Due Roja (3) trzęsienie to było jednym z 90 wstrząsów, które wystąpiły w tym epicentrum od marca do sierpnia 1951 r. Współrzędne epicentrum różnią się nieco od podanych przez BCIS i wynoszą $38^{\circ}1\text{N}$ i $3^{\circ}7\text{W}$. Przypuszczalna głębokość ogniska równa jest 80 km. Ognisko to było prawdopodobnie ogniskiem liniowym. Zapis raciborski jest wyraźny, ale przerwany na skutek zmiany papieru. Duże silniejsze było trzęsienie drugie, którego liczne fazy jądrowe jak PKP, PKS, SKS zaznaczają się wyraźnie między $22^{\text{h}}15^{\text{m}}22^{\text{s}}$ a $22^{\text{h}}48^{\text{m}}$ [61]. Ognisko tego trzęsienia leżało, jak podają zgodnie BCIS i USCGS na głębokości około 200 km w rejonie Nowych Hebrydów, współrzędne epicentrum są $15^{\circ}\frac{1}{2}\text{S}, 167^{\circ}\frac{1}{2}\text{E}$; jako czas początkowy trzęsienia podana jest $22^{\text{h}}57^{\text{m}}37^{\text{s}}$. Magnituda trzęsienia wahala się w granicach $7\frac{1}{2}\text{--}7\frac{3}{4}$ (Pasadena, Praha, Wellington). Do dalekich trzęsień ziemi w tym miesiącu należy również trzęsienie z dnia 12 [63], które prawdopodobnie było jeszcze jedną repliką wielkiego trzęsienia ziemi w Assamie z dnia 15.VIII.1950 r. Seismografy raciborskie zanotowały to trzęsienie między $15^{\text{h}}02^{\text{m}}33^{\text{s}}$ a $15^{\text{h}}37^{\text{m}}$. Najwyraźniejszy był zapis na składowej Z, można było odczytać fazy typu P; na składowych poziomych zaznaczają się fale długie. Dokładniejsze odczytanie utrudnione było przez mikrosejsmy. Wyraźne początki na składowej Z mają: trzęsienie z dnia 19 z rejonu Kamezatki (BCIS i USCGS: $57^{\circ}\text{N}, 160^{\circ}\text{E}, H = 20^{\text{h}}28^{\text{m}}55^{\text{s}}$) [68] oraz trzęsienie głębokie ($h = 300$ km) z dnia 22 z rejonu wysp Kermadec (BCIS i USCGS: $31^{\circ}\text{S}, 180^{\circ}, H = 21^{\text{h}}38^{\text{m}}54^{\text{s}}$) [70]. W dniu 14 miało miejsce duże trzęsienie w Nadrenii w rejonie Euskirchen [64]. Współrzędne epicentrum według BCIS są $50^{\circ}40'\text{N}, 6^{\circ}50'\text{E}$, początek trzęsienia $H = 09^{\text{h}}46^{\text{m}}58^{\text{s}}$. Współrzędne epicentrum są takie same jak dla ogniska w dniu 8.III.1950 r. Głębokość ogniska jest dużo większa i wynosi według H. Berga (4) około 25 km. Berg sugeruje, że wystąpiły dwa wstrząsy w 7 sek. jeden po drugim. Schwarzbach (5) podaje, że trzęsienie to zostało odczute na powierzchni jako trzęsienie VIII st. skali M-S: zaobserwowano porysowanie się murów, zawalenie się dachu kościoła i nagrobków na cmentarzu. Rejestracja trzęsienia w Raciborzu rozpoczęła się w przerwie minutowej między $09^{\text{h}}48^{\text{m}}$ a $09^{\text{h}}49^{\text{m}}$. Wyróżniono fazy Pn, Pg, Sn, Sg. Maksymalne wychylenia wystąpiły o $09^{\text{h}}51^{\text{m}}$. Okresy drgań były krótkie (4 sek.) a amplitudy wychyleń wahala się w granicach $40\mu\text{--}950\mu$. Zapis kończy się około $10^{\text{h}}10^{\text{m}}$. Ponadto w dniu 1 marca zanotowany został jeden wstrząs górnośląski [50].

W kwietniu stacja raciborska podaje 30 trzęsień, z tego 20 to zapisy śladowe. Jednym z lepiej indentyfikujących się trzęsień jest trzęsienie z dnia 8,

którego ognisko leżało w Turcji w rejonie Aleksandretty [77]. Współrzędne podane przez BCIS wynoszą $36^{\circ}4\text{N}$, $37^{\circ}5\text{E}$, $h = 100$ km. Trzęsienie rozpoczęło się o $21^{\text{h}} 38^{\text{m}} 0$. Magnituda trzęsienia wynosiła według Pragi $6\frac{1}{4}$, według Strasburga $5\frac{3}{4}$. W rejonie epicentralnym trzęsienie to było silnie odczute. Spowodowało wypadki śmiertelne i rany u kilkunastu osób. Zapis raciborski jest wyraźny, szczególnie jeżeli idzie o pierwsze fazy. Trwa około $\frac{1}{2}$ godziny. Koniec zakłócony jest przez mikrosejsmy. Tak samo długo trwający zapis spotykamy w dniu 14. Spowodowany on został przez trzęsienie ziemi w Turkiestanie [81]. Trzęsienie to według danych BCIS rozpoczęło się o $04^{\text{h}} 10^{\text{m}} 04^{\text{s}}$ w epicentrum o współrzędnych $39^{\circ}1\frac{1}{4}\text{N}$, 72°E . Magnituda trzęsienia była raczej niewielka i wynosiła $5\frac{3}{4}$ (Strasburg, Rzym). Zapis raciborski zaczyna się o $04^{\text{h}} 17^{\text{m}} 39^{\text{s}}$. Dalsze wyróżniające się fazy to fazy odbiciowe PP, PPP, SS. Zapis zakłócony jest przez silne mikrosejsmy. W niespełna godzinę sejsmograf pionowy zarejestrował replikę tego trzęsienia, której początek podany przez BCIS był o $04^{\text{h}} 52^{\text{m}} 3$. Numerami [79] i [92] są oznaczone dwa wstrząsy, których epicentra leżały na obszarze Górnego Śląska.

Zapisy mające otwiera zapis trzęsienia ziemi, które miało miejsce na Tasmanii w dniu 1 maja o $05^{\text{h}} 02^{\text{m}} 41^{\text{s}}$ [104]. Współrzędne epicentrum mają wartości: $50^{\circ}1\frac{1}{2}\text{S}$, 149°E . Pasadena ocenia magnitudę tego trzęsienia na 7 a Praga na $6\frac{3}{4}$. Zapis raciborski trwa około $\frac{1}{2}$ godziny, ale spośród wyróżnionych faz niewiele udało się zidentyfikować. Podobnie przedstawia się trzęsienie z Mozambiku z dnia 10 [108] (BCIS: $19^{\circ}7\text{S}$, 34°E , $H = 09^{\text{h}} 18^{\text{m}} 36^{\text{s}}$) oraz trzęsienie z Turkiestanu z dnia 12 (BCIS: 42°N , 72°E , $H = 22^{\text{h}} 07^{\text{m}} 9$) [109]. Więcej uwagi poświęcić należy w maju trzęsieniom europejskim. Pierwsze nawiedziło w dniu 15 północne Włochy [112]. Według BCIS współrzędne epicentrum są $45^{\circ}5\text{N}$, $9^{\circ}6\text{E}$. Rzym ocenia magnitudę trzęsienia na 5.5, a wyemitowaną energię na 10^{21} ergów. Dane makrosejsmiczne mówią, że trzęsienie to zostało odczute na dość dużym obszarze. W położonych najbliżej epicentrum miastach Pawii i Mediolanie, gdzie wywołało nawet pewne szkody, natężenie trzęsienia w skali Mercalli — Sieberga szacowano na VI stopień tej skali. Trzęsienie to zostało odczute również w Brescii, Weronie, Padwie, Bolonii, Wenecji, w południowych Niemczech oraz w kilku punktach na terenie Francji. Zapis raciborski rozpoczyna się fazą P* o $22^{\text{h}} 56^{\text{m}} 35^{\text{s}}$. Z innych faz udało się wyróżnić S* oraz Sg. Maksymalne wychylenia gruntu są rejestrowane o $22^{\text{h}} 59^{\text{m}}$; okres drgań 1^{s} a amplituda 45μ . Następnego dnia o $02^{\text{h}} 27^{\text{m}} 03^{\text{s}}$ wystąpiła replika tego trzęsienia. Początek rejestracji w Raciborzu przypada na $02^{\text{h}} 29^{\text{m}} 44^{\text{s}}$ [113]. Zapis trwa około 15 minut, udało się zidentyfikować tylko fazy Sn i Sg. Maksymalne wychylenia gruntu przypadające na $02^{\text{h}} 31^{\text{m}}$ wynosiły 5μ . Trzęsienie to było odczute w Pawii jako trzęsienie IV i V stopnia skali M-S. Szczegółowe opracowanie tych trzęsień można znaleźć w IX tomie Annali di Geofisica. Autorzy pracy (6) obliczali współrzędne epicentrum różnymi metodami otrzymując wartości różniące się niewiele od podanych przez BCIS, głębokość ogniska

oceniona została na około 5 km. Trzęsienie to dało bardzo interesujący materiał obserwacyjny na wielu stacjach, który poddany został szczegółowej analizie. Interpretacja hodografów i wyznaczenie prędkości pozwoliły na określenie struktury geologicznej doliny Padu. Bardzo ładny i czytelny zapis otrzymano z trzęsienia ziemi w Hiszpanii w dniu 19 [114]. Trzęsienie to, którego magnitudę Praga ocenia na $5\frac{1}{4}$, jest repliką wstrząsu z dnia 10.III. (nr [61] por. Literatura pozycja (3)). Zostało ono odczute w środkowej Hiszpanii jako trzęsienie VI stopnia skali M-S (Granada, Sewilla). Fale P dotarły do Raciborza o $15^{\text{h}} 59^{\text{m}} 02^{\text{s}}$. Wyraźnie zaznaczona, choć bez ostrego początku, jest grupa fal poprzecznych; o $16^{\text{h}} 02^{\text{m}} 57^{\text{s}}$ tak na zapisach sejsmografów poziomych jak i na pionowym pojawia się fala S; okres drgań na N i E — 4 sek., amplitudy odpowiednio 2μ i 4.5μ ; w kilkanaście sekund później również wyraźnie pojawiają się fale SS. Maksymalne wychylenia gruntu są rzędu kilkunastu μ . W dniu 25 stacja raciborska podaje kilka faz, które przypisać można adriatyckiemu trzęsieniu ziemi (BCIS: $42^{\circ}8\text{N}$, 14°E , $H = 20^{\text{h}} 42^{\text{m}} 29^{\text{s}}$) [121]. Trzęsienie zostało odczute na wybrzeżach Włoch i Jugosławii. Wreszcie ostatnim trzęsieniem, któremu należy poświęcić trochę uwagi, jest trzęsienie z Luzonu z dnia 31 [128], współrzędne epicentrum są 19°N , 121°E . Zostało ono odczute w północnym Luzonie: Laoag — VI st. skali M-S (straty), Tuguegarao, Calayan, Cagayan — IV stopień skali M-S, Manilla — III st. skali M-S. Zapis raciborski rozpoczyna się fazą P o $21^{\text{h}} 08^{\text{m}} 24^{\text{s}}$; o $21^{\text{h}} 18^{\text{m}} 41^{\text{s}}$ występuje wyraźnie S. Na sejsmografech E-W i Z zapis jest wyraźny, ale odczytanie jest utrudnione przez brak przerw minutowych. Wstrząsy górnicze występujące na Śląsku wyrażają się w maju tylko jednym słabo czytelnym śladem [115] z dn. 20. Ogółem w maju Stacja Raciborska podaje 25 wstrząsów w tym 16 śladow.

Miesiąc czerwiec odznaczał się wyjątkowo dużą ilością śladow, ponieważ na 29 zarejestrowanych wstrząsów są tylko dwa pełnoczytelne trzęsienia dalekie i 3 wstrząsy wyraźniejsze pochodzące z obszaru Górnego Śląska. Pozostałe 24 — to ślady. Wśród nich znajdziemy wstrząs z Austrii z dnia 7 [132], jego replikę z dnia 13 [140] oraz ślady wstrząsu z Niemiec z dnia 19 [144]. W dniu 5 miało miejsce silne trzęsienie ziemi w rejonie Japonii [130]. Ognisko o współrzędnych $29^{\circ}5\text{N}$, 131°E (BCIS) leżało na głębokości około 100 km. Magnitudę tego trzęsienia oszacowano na $6\frac{3}{4}$ — 7 (Pasadena), $7\frac{3}{4}$ (Praga), $7\frac{1}{2}$ (Rzym), $7\frac{1}{4}$ (Strasburg). Rejestracje w Raciborzu rozpoczyna ostra(i) faza P na sejsmografie pionowym o $17^{\text{h}} 09^{\text{m}} 56^{\text{s}}$. W parę sekund później pojawia się również ostra faza pP. Dobrze widoczne fale powierzchniowe notowane są o $17^{\text{h}} 41^{\text{m}}$, a maksymalne wychylenia gruntu obserwujemy między $17^{\text{h}} 46^{\text{m}}$ a $17^{\text{h}} 51^{\text{m}}$, amplitudy są rzędu 140μ . Koniec rejestracji o $18^{\text{h}} 24^{\text{m}}$. Podobnie długi zapis spowodował trzęsienie z dnia 6 [131] z rejonu wyspy Jan Mayen. Współrzędne epicentrum podane przez BCIS są $72^{\circ}5\text{N}$, $8^{\circ}5\text{W}$. Trzęsienie zalicza się do trzęsień głębszych ($h = 60$ km). Magnituda oszacowana przez Pasadenę równa jest 7, przez Pragę 6 — $6\frac{3}{4}$, przez Racibórz 6.1. Zapis jest wyraźny;

udalo się wyróżnić i zidentyfikować dość dużą ilość faz, wśród których wymienić należy P,S, fazy odbiciowe: pP, PP, PPP, SS, SSS. Maksima występują w $16^h 26^m$ — $16^h 38^m$, amplitudy wahają się w granicach 9.5 — 26μ . Rejestracja kończy się około $17^h 25^m$. Biuletyn stacji raciborskiej podaje w tym miesiącu trzy wstrząsy z rejonu Górnego Śląska. Są to wstrząsy nr [142] z dnia 18., nr [146] z dn. 22, nr [147] z dn. 24.

W miesiącu lipcu stacja zarejestrowała ogółem 39 wstrząsów z czego 28 to ślady. Trzy najwyraźniejsze w tym miesiącu zapisy są spowodowane przez trzęsienie na Filipinach [161] w dniu 8, przez trzęsienie w rejonie wysp Bonin [164] w dniu 11 oraz przez trzęsienie na Atlantyku [174] w dniu 18. Dla epicentrum trzęsienia filipińskiego USCGS podaje wartości $11^{\circ}N$, $122^{\circ}E$ a na początek trzęsienia $05^h 44^m 20^s$. Zapis tego trzęsienia jest dość długi; rozpoczyna się fazą P o $05^h 57^m 28^s$ i trwa aż do $07^h 06^m$. Dość wyraźne są fazy typu S; pojawiają się o $06^h 08^m 16^s$. Między $06^h 37^m$ — $06^h 46^m$ występują maksima fal długich, amplitudy wychyleń są rzędu kilkunastu mikronów. Magnituda trzęsienia wyznaczona w Raciborzu jest równa 6.4, według Pasadena wynosiła $6\frac{1}{2}$. Następne ze wspomnianych trzęsień to trzęsienie z rejonu wysp Bonin ($28^{\circ} \frac{1}{2}N$, $139^{\circ} \frac{1}{2}E$ (USCGS)). Ognisko trzęsienia leżało na głębokości 550 km. Trzęsienie rozpoczęło się o $18^h 22^m 00^s$. Pasadena ocenia magnitudę trzęsienia na 7. Trwający godzinę zapis rozpoczyna ostro rysujące się fazy wstępne o $18^h 33^m 46^s$; fale poprzeczne dotarły do Raciborza w 10 minut później; o $18^h 43^m 32^s$ obserwujemy fale S, a następnie wyraźne fale odbiciowe sS, SS i SSS. Fale długie występują o $19^h 02^m$ a między $19^h 09^m$ — $19^h 16^m$ osiągają największe wychylenia zawarte w granicach 7 — 28μ . Trzęsienie atlantyckie (USCGS: $10^{\circ}N$, $27^{\circ}W$, H = $09^h 06^m 16^s$) spowodowało w Raciborzu długi i wyraźny zapis. Rejestrację rozpoczyna ostra faza iP, wyraźna na składowych N i Z, na składowej E nieco zakłócona przez słabe mikrosejsmy. Dalsze fazy to przeważnie fazy odbiciowe na ogół dość wyraźne i dobrze identyfikujące się (PP, PPP, PeS, PS itp.). Fazę główną otwierają fale długie, których liczne maksima przypadają między $09^h 38^m$ a $09^h 50^m$. Wartości maksymalnych wychyleń wahają się w granicach 40 — 238μ . Obliczona na podstawie jednego z nich magnituda jest równa $6\frac{1}{2}$; taką samą magnitudę dla tego trzęsienia podaje Pasadena. Berkeley ocenia magnitudę na $6\frac{3}{4}$, Praga na 7, a Hurbanowo nawet na $7\frac{1}{4}$. Mniej czytelne, chociaż na ogół dość poprawnie identyfikujące się są zapisy trzęsień z wysp Tonga w dniu 3 [155] i w dniu 4 [158], z rejonu Aleutów w dniu 19 [176], z rejonu morza Arabskiego w dniu 25 [179]; w dniu 21 wystąpiła również jeszcze jedna replika katastrofalnego trzęsienia ziemi zaszego w Assamie w dniu 15.VIII.1950 r. [177]. W ostatniej dekadzie lipca stacja zanotowała kilka trzęsień z rejonu Wysp Japońskich. Do szczegółowego opracowania nadawało się tylko trzęsienie z dnia 26 [186], którego wszystkie wyróżnione fazy są jednak typu e. Z trzęsień europejskich w lipcu stacja podaje dwa trzęsienia z Jugosławii: w dniu

14 [170] i w dniu 15 [171], trzęsienie z Rumunii w dniu 23 [181] i ze Szwajcarii w dniu 24 [182]. Trzy pierwsze zapisane są w postaci śladów, ostatnie nieco wyraźniejsze pozwala na wyróżnienie faz typu S (Sn i Sg).

Miesiąc sierpień zawiera 46 wstrząsów w tym 29 śladów. Najważniejszym wydarzeniem sejsmicznym w tym miesiącu było trzęsienie ziemi w Turcji w dniu 13 o $18^h 39^m 26^s$ [211]. Współrzędne epicentrum według BCIS wynoszą $40^{\circ}9N$, $33^{\circ}2E$. Pasadena ocenia magnitudę trzęsienia na $6\frac{3}{4}$, Praga na 6.8, Strasburg na $6\frac{1}{4}$. Trzęsienie to wywołało dość duże zniszczenia i straty w Anatolii i w Kursunlu. Było wiele osób zabitych i rannych. Zapis raciborski rozpoczyna o $18^h 36^m 43^s$ fazą P; charakter drgań był w pierwszym momencie typu e; mimo to można określić kierunki wychyleń; w trzy sekundy potem obserwuje się ostre i wyraźne zaznaczenie się faz. Wszystkie dalsze fazy są typu i. Wśród nich znajdują się fale odbiciowe podłużne, dobrze wyróżniającą się, ostro zaznaczoną fazę S oraz jej odbicia u powierzchni Ziemi. Zapis trzęsienia jest dość długi, kończy się około $20^h 35^m$. Odczytywanie dalszych faz było utrudnione ze względu na duże maksymalne wychylenia, które zachodzą na resztę zapisu. Wychylenia te zarejestrowane są między $18^h 40^m$ — $18^h 45^m$ i sięgają wartości 120 — 140μ . W dniu 13 i 14 miały miejsce dwie repliki tego wstrząsu [212], [215]. Literaturę tego trzęsienia stanowi pozycja (7). Sierpień obfituje w trzęsienia z rejonu Europy. Jest ich w tym miesiącu aż 11. Są to trzęsienia z obszaru Szwajcarii [192], [220], Włoch [202], [209], [210], [230], z rejonu Grecji [225], [226], [235], [236], z obszaru Morza Śródziemnego [221]. Kilka z nich to ślady, w pozostałych udało się przeprowadzić identyfikację faz, ale na ogół zapisy nie zawierają nic charakterystycznego. Najwyraźniej z wymienionych trzęsień zapisane zostało trzęsienie [202] z Gran Sasso we Włoszech. Dane według BCIS są następujące: $42^{\circ}5N$, $13^{\circ}4E$, H = $20^h 56^m 30^s$. Energia wyemitowana w czasie trzęsienia jest oszacowana na 10^{23} ergów (Rzym). Zapis raciborski trwa około 20 minut, rozpoczyna się o $20^h 58^m 38^s$ fazą ePn; dalszymi zidentyfikowanymi fazami są PP, Sn, Sg, i SSS. Z trzęsień dalekich zarejestrowanych przez stację w tym miesiącu wymienić należy trzęsienia irańskie z dnia 16/17 [216], trzęsienie kurylskie o stosunkowo wyraźnym zapisie z dnia 24 [228] oraz trzęsienie z rejonu wysp Kermadec, z dnia 28 [231]. W dniu 24 o $12^h 48^m$ miał miejsce wstrząs na Górnym Śląsku. Zapis jest dość wyraźny, ale amplitudy wychyleń nie są duże. Zapis trwa około 5 minut.

Wśród 24 wstrząsów sejsmicznych zanotowanych w Raciborzu we wrześniu właściwie tylko jednemu należy poświęcić nieco więcej uwagi. Jest to wstrząs z dnia 1 o $06^h 56^m 04^s$, którego epicentrum leżało w centralnych Włoszech (BCIS: $43^{\circ}N$, $13^{\circ}2E$) [237]. Zostało ono odczute na powierzchni Ziemi, jako trzęsienie VII stopnia skali M-S na obszarze prowincji Macerata, jako trzęsienie VI stopnia skali M-S w wielu miejscowościach prowincji Teramo. Maksymalne wychylenia pojawiają się o $07^h 01^m$; na składowych poziomych mają wartość 16 — 20μ , a na pionowej są rzędu 2μ . Mało czytelną formę

zapisu mają wstrząsy [241] z dnia 7 z Belgii, [248] z dnia 15 z Turcji oraz [257] z dnia 24 z Kuryli. Trzy trzęsienia [242], [250], [251] z rejonu wysp Tonga i Samoa charakteryzują się wyraźną fazą jądrową PKP. Dalsza interpretacja jest utrudniona przez występowanie mikrosejsmów.

Najciekawszym trzęsieniem Ziemi zarejestrowanym w październiku przez wszystkie chyba stacje sejsmologiczne świata był kompleks trzęsień z rejonu Tajwanu. Pierwszy z tych wstrząsów wystąpił w dniu 21 o 21^h 34^m 13^s [280]. USCGS określiło następujące współrzędne: 24°N, 122°E. Magnitudę trzęsienia oszacowano na 7^{3/4} — 8 (Praga), 7.5 (Rzym) 7^{1/4} (Racibórz), 6^{3/4} (Pasadena). Faza wstępna na sejsmogramie raciborskim zawiera liczne i dość dobrze identyfikujące się impulsy; trwa około 15 minut poczem rozpoczęna się zapis fazy głównej trzęsienia. Wychylenia gruntu osiągają swoje maksymalne wartości (85—338 μ). Końca zapisu nie można ustalić, ponieważ nakładają się na niego dwa następne trzęsienia: jedno z rejonu Kuryli [281] oraz drugi wstrząs wstępny z rejonu Tajwanu [282]. Wstrząs główny, oznaczony w biuletynie raciborskim nr [283] rozpoczął się o 03^h 29^m 26^s w epicentrum o takich samych współrzędnych co wstrząs [280]. Magnituda tego trzęsienia równa jest 7 (Pasadena), 7^{3/4} — 8 (Praga), 6^{3/4} (Racibórz). Trzęsienie wywołało duże zniszczenia na wybrzeżach Tajwanu, szczególnie w miejscowości Hualien, spowodowało śmierć i rany u blisko 1000 osób. Pierwsze wychylenie w Raciborzu zanotowane zostało na składowej pionowej o 03^h 41^m 41^s. Dalsze licznie występujące fazy jak np. PP, PS, PPS, SKS są wyraźne i na ogół dość dobrze identyfikują się. Fazę główną rozpoczynają fale długie, których maksima o wielkościach od 15 μ do 250 μ przypadają między 04^h 12^m a 04^h 31^m. Odczytanie zapisu na składowych poziomych było utrudnione przez występujące w tym dniu dość silne mikrosejsmy oraz przez nałożenie się replik na zapis wstrząsu głównego. Z podanych przez BCIS i USCGS na dzień 22.X. 16 replik zanotowanych jest w Raciborzu 13. Z replik tych równe co do magnitudy jest trzęsienie o 05^h 43^m 01^s ($M = 7\frac{1}{4} — 7\frac{1}{2}$ — Praga, 6^{1/4} — 6^{1/2} — Pasadena). Początek rejestracji przypada na 05^h 55^m 16^s. Dalsze fazy to PcP, PPP, stosunkowo wyraźne S o 06^h 05^m 17^s, ScS, PS, PPS. Fale powierzchniowe pojawiają się o 06^h 15^m, a maksymalne ich wychylenia notowane są do 06^h 33^m do 06^h 46^m. Wartości wychyleń zawarte są w granicach 36 μ — 105 μ . Dalsze trzęsienia — repliki z Tajwanu zarejestrowane były w dniach 23 [297], 24 [300], 25 [302]. Trzęsieniem, którego odczytanie i interpretacja były również utrudnione, było trzęsienie z dnia 31 o 07^h 08^m 52^s.5 z rejonu Sumatry (USCGS: 3°N, 101°E, $H = 06^h 56^m 21^s$; $M = 6\frac{1}{2} — 6\frac{3}{4}$ Pasadena) [313]. Zapis był zakłócony przez występującą w godzinę po wstrząsie głównym replikę [314] oraz przez silne mikrosejsmy. Druga replika tego wstrząsu była zanotowana o 10^h 34^m. Z trzęsieniem europejskich w październiku wymienić należy trzęsienie jugosławiańskie z dnia 29 [307] oraz włoskie [309] z tego samego dnia. Trzęsienie [307] było odczute na powierzchni Ziemi jako trzęsienie VII st. skali M-S. Zapis raciborski

jest wyraźny i pozwala na wyróżnienie faz typowych dla trzęsień bliskich: Pn, Pg, Sn, Sg. Znacznie mniej wyraźny jest zapis trzęsienia włoskiego. Wszystkie odczytane i zidentyfikowane fazy są spowodowane przez drgania poprzeczne gruntu. W październiku zanotowano również pięć wstrząsów śląskich: w dniu 3 [262], w dniu 20 [279], w dniu 26 [304], w dniu 31 [315] i [316]. Pierwszy z nich to słabo czytelne ślady, cztery pozostałe pozwalały na wyróżnienie pewnych faz na zapisie sejsmografa pionowego. Na składowych poziomych występują mikrosejsmy. Ogółem październik zawiera 58 wstrząsów, w tym 23 ślady.

W listopadzie ilość zapisanych wstrząsów wynosi 53, z czego 22 przypada na ślady. W miesiącu tym można wyróżnić cztery grupy wstrząsów: I — z rejonu Wysp Kurylskich, II — z rejonu Kamczatki, III — z Tybetu, IV — z Tajwanu. Pierwsza grupa obejmuje 9 wstrząsów w dniach od 6 do 12. Największym z tych trzęsień było trzęsienie [326] z dnia 6 o 16^h 40^m 06^s. Współrzędne według USCGS są 47°N, 154°E. Magnituda równa jest 7 — 7^{1/4} (Pasadena), 7^{1/4} (Praga), 7.3 (Racibórz). Początek rejestracji w Raciborzu przypada na 16^h 51^m 54^s. Zapis jest długi, na składowych poziomych zakłócony przez mikrosejsmy, co utrudnia odczytanie sejsmogramu. Identyfikują się fazy pochodzące głównie od fal podłużnych. W 27 minucie rejestracji pojawiają się fale powierzchniowe, których liczne i dobrze rozwinięte maksima sięgają 262 μ . Koniec trzęsienia ginie w replice występującej o 19^h 02^m 16^s. Początek repliki szczególnie ostro zarysowane się na składowej Z. Drugim większym trzęsieniem z tej grupy było trzęsienie [338] dnia 12 o 08^h 09^m 26^s, które spowodowało w Raciborzu zapis dość długi, wyraźny ale nie zawierający nic bardziej charakterystycznego. Maksymalne, 20-sekundowe wychylenia fal długich pozwoliły na określenie magnitudy, którą w Raciborzu oszacowano na 6.8. Na końcowe fazy zapisu tego trzęsienia nakładają się fazy jądrowe dalekiego i głębokiego ($h = 400$ km) trzęsienia z wysp Fidzi [339]. Oba zapisy zakłócone są przez mikrosejsmy. Drugą dużą grupę wstrząsów stanowi 15 trzęsień z rejonu Kamczatki (USCGS: 52^{1/2}°N, 160^{1/2}°E, $h = 60$ km) w dniach 15, 16, 18, 24. Na ilość tę składa się siedem wstrząsów wstępnych ([342] — [348]), jeden wstrząs główny ([349]) oraz siedem replik ([350] — [354], [356], [357], [365]). Cechą wspólną tych zapisów jest, że wszystkie identyfikujące się fazy zaliczają się do faz typu P (P, pP, PP, PcP), tylko w jednym wypadku występuje faza S ([354]), w jednym faza PPS ([349]). Przyczyna tego faktu może tkwić w tym, że dnie te charakteryzują się silną aktywnością mikrosejsmiczną, co utrudnia odczytanie zapisu na składowych poziomych. Znacznie trudniejszy a jednocześnie bardziej interesujący był zespół trzęsień tybetańskich w dniach 17 i 18, na który składają się dwa wstrząsy wstępne, wstrząs główny i jedna replika [355], [358], [359], [360]. Drugi ze wstrząsów wstępnych i wstrząs główny wystąpiły w dniu 18, w 10 minut jeden po drugim ($H_I = 09^h 26^m 33^s$, $H_{II} = 09^h 35^m 44^s$). Współrzędne epicentrum według USCGS są 31°N, 90° 1/2 E. Magnitudę szacowano na 8.3 (Praga i Racibórz), 7^{1/2} (Pasadena). Trzęsienie

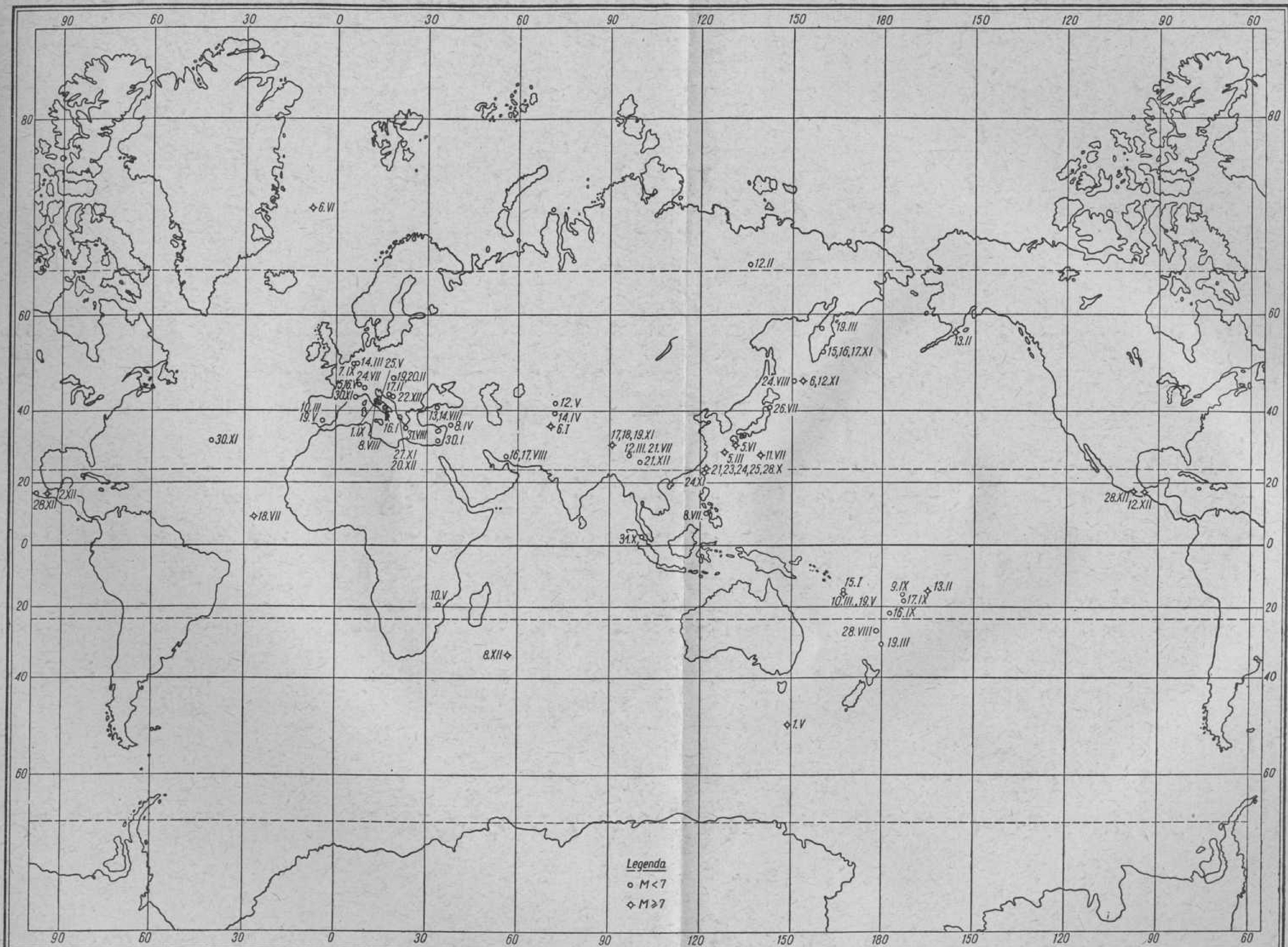
to zostało odczute na powierzchni Ziemi, na N od Lhassy. Początek zapisu stanowią słabe, zakłócone przez mikrosejsmy fazy, które przypisać należy trzęsieniu wstępemu. Po 10 minutach pojawiają się ostre i wyraźne (i) fazy P trzęsienia głównego. Wszystkie dalsze wyróżnione i zidentyfikowane fazy mają ten sam charakter. Spowodowane one są bądź przez jedno bądź przez drugie trzęsienie i w większości wypadków można je zupełnie pewnie przypisać jednemu z tych trzęsień. Fale długie pojawiają się o $09^h 57^m$, a w parę minut potem występują liczne maksima. Wartości wychyleń wahają się w granicach 171μ – 2000μ . Podobny charakter mają dwa nałożone na siebie trzęsienia z Taiwanu (USCGS: $23^\circ N$, $121^\circ 1/2 E$) w dniu 24 [363] i [364]. Było to jedno z największych trzęsień w tym rejonie. Zostało silnie odczute na powierzchni, spowodowało pewne straty w ludziach oraz wywołało duże zniszczenia materialne. Magnitudę trzęsienia oceniano na $7\frac{1}{4}$ (Pasadena) do $7\frac{3}{4}$ – 8 (Praga). Początki tych trzęsień różnią się między sobą o $3^m 06^s$. Zapis raciborski jest długi, wyraźny, o szczególnie wyróżniających się fazach na zapisie sejsmografu pionowego. Natomiast zidentyfikowanie tych faz i przypisanie ich poszczególnym trzęsieniom napotykało na duże trudności. Jako przykład może posłużyć faza i_z o $19^h 02^m 37^s$, którą można interpretować jako fazę PP wstrząsu I lub fazę P wstrząsu II. Maksymalne wychylenia gruntu zanotowane w Raciborzu mają wartości od 99μ do 476μ . Oprócz omówionych wyżej trzęsień stacja zanotowała jedno trzęsienie z Kaukazu w dniu 2 [320], jedno trzęsienie alpejskie w dniu 30 [370], jedno trzęsienie na Atlantyku w dniu 30 [371], oraz jeden wstrząs na Górnym Śląsku w dniu 4 [323].

Zapisy raciborskie w grudniu pod względem sejsmicznym nie przedstawiają nic ciekawego. Na 34 zapisane trzęsienia przypada 24 ślady, a i pozostały 10 zakłócone jest przez silną aktywność mikrosejsmiczną. Najwięcej uwagi poświęcić należy trzęsieniu w dniu 8, którego epicentrum leżało na obszarze Oceanu Indyjskiego (USCGS: $34^\circ S$, $56^\circ 1/2 E$, $h = 100$ km) [379]. Magnituda trzęsienia wała się w granicach $7\frac{1}{4}$ (Praga)– $7\frac{3}{4}$ (Pasadena). Zapis raciborski jest dość długi, obfitujący w liczne wyraźne, dobrze identyfikujące się fazy. Osobliwością tego trzęsienia są fale powierzchniowe o bardzo długich okresach (60^s), których wychylenia mają wartości około 800μ . Silne ($M = 7$ – Pasadena) trzęsienie ziemi w Meksyku w dniu 12 zapisane jest w Raciborzu słabo i niewyraźnie [380]. Podobnie przedstawia się sprawa z drugim trzęsieniem meksykańskim w dniu 28 [401] oraz z trzęsieniem w prowincji Junnan (Chiny) w dniu 21 [388]. Wszystkie wyróżniające się w tych trzęsieniach fazy są typu e, zaznaczają się fale długie i ich maksima, ale ocena wartości wychyleń jest trudna. Numery [381], [400], [405] przedstawiają sobą trzęsienia zaszłe w grudniu w rejonie Grecji, a numerami [377] w dniu 7 i [382] w dniu 14 oznaczone są dwa wstrząsy górnośląskie.

LITERATURA

1. Drost Z., Gibowicz Sł. *Wyznaczenie magnitudy trzęsień dalekich z fal powierzchniowych dla Śląskiej Stacji Geofizycznej w Raciborzu*. Acta Geophys. Pol. vol VI, nr 3, 1958
2. Karnik V. *Zemětřesení v Novohradských Horách (Nograd) 29. II. 1951 r.*, Geofyzikalni Sborník 1953, Praha 1954.
3. Due Rojo Antonio *Die südspanischen Erdbeben von März bis August 1951*, Neues Jb. Geolog. Paläontol. Min. Jahr. 1952, H. 1, Stuttgart, January 1952.
4. Berg Helmut *Das Rheinlandbeben bei Euskirchen vom 14. März 1951*, Geof. Pura e Appl. vol. 24, 57–67, 1953.
5. Schwarzbach M. *Die Erdbeben des Rheinlandes*, Kölner Geol. Hefte. No 1, 1951.
6. Caloi P., De Panfilis M., Di Filippo D., Marcelli L., Spadea M.C. *Terremoti della val Padana del 15–16 maggio 1951*, Annali di Geofisica, vol. IX n. 1, 1956.
7. Pinar Nuriye *Geologie and Macroseismic Study of the Kursunlu (Northern Anatolia) Earthquake of the August 13, 1951*, Istanbul. Univ. Facultesi Mecmuasi, Ser. A., T. 18, Fasc. 2, 131–142, 1953.

Documentation preserved at the Institute of Geophysics, Polish Academy of Sciences - Department of Seismology (Warszawa),
reproduced on 2005 by SGA Storia Geofisica Ambiente (Bologna) on behalf of the Istituto Nazionale di Geofisica e
Vulcanologia (Rome), in the frame of the EUROSEISMOS project.
These data are considered public domain and may be freely distributed or copied for non-profit purposes provided the project
is properly quoted.



Trzęsienia ziemi w 1951 roku według rejestracji Śląskiej Stacji Geofizycznej w Raciborzu